

# conex

## club

ELECTRONICĂ PRACTICĂ PENTRU TOȚI

Preț: 15 000 lei

REVISTĂ LUNARĂ • ANUL II - NR. 14

■ TDA2320A - APLICAȚII -

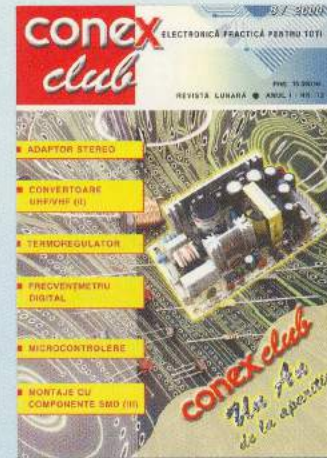
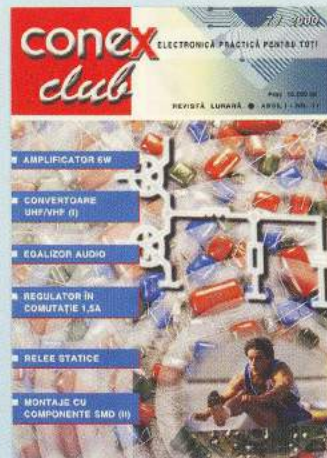
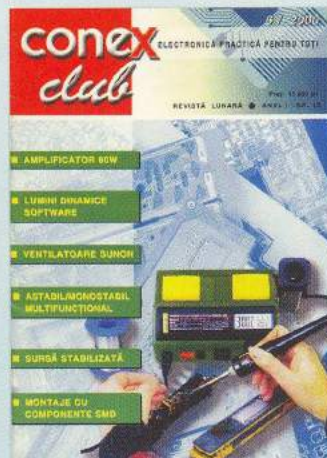
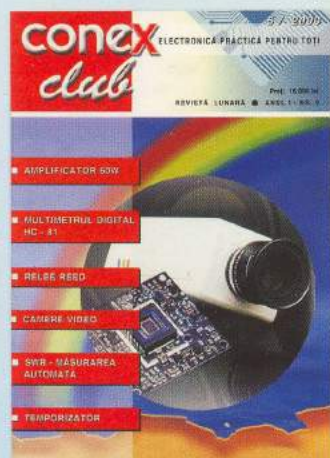
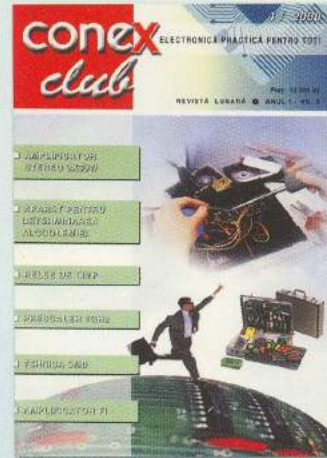
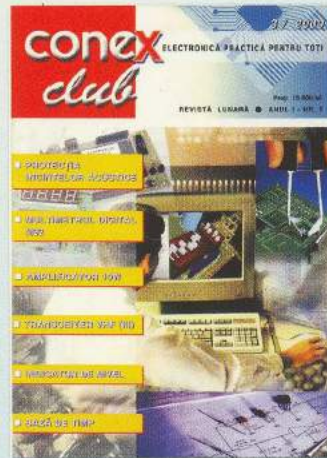
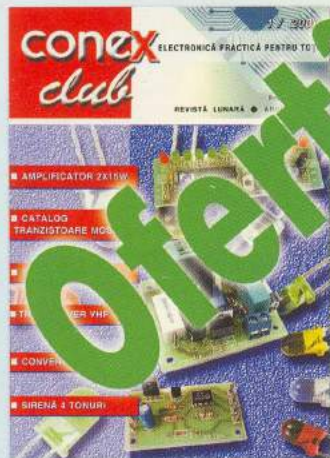
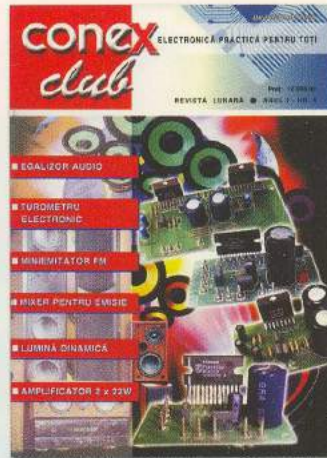
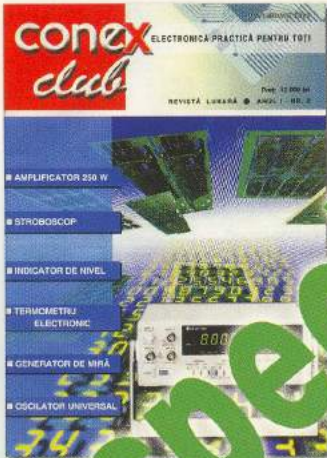
■ TEMPORIZATOR CU  
MICROCONTROLLER

■ VOLTMETRU DIGITAL

■ COMUTATOR  
ELECTRONIC

■ TRANSCEIVER 2m

■ TESTER PENTRU  
REȚELE RS232



## În atenția celor interesăți!

Puteți obține colecția revistei Conex Club anul I numerele 1...12 la prețul de numai **100 000 lei**  
+ taxele poștale.

La fiecare colecție solicitată primiti **GRATUIT**

***Lista de produse și prețuri*** la zi ale magazinului Conex Electronic.

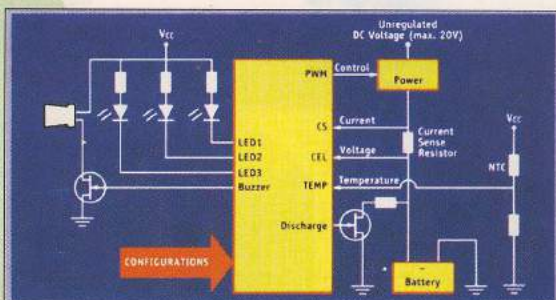
**Rețineți!** Comenzile se primesc în scris, telefonic sau prin e-mail.

# SUMAR

NEWS .....	1
TDA2320A .....	2
TEMPORIZATOR CU µCONTROLLER .....	4
COMUTATOR ELECTRONIC .....	6
VOLTMETRU DIGITAL DE PANOU .....	8
TRANSFORMATOARE TOROIDALE .....	10
TRANSCEIVER 2m .....	11
TENDINȚE ÎN DEZVOLTAREA COMPONENTELOR SEMICONDUCTOARE DE PUTERE (III) .....	15
SERVICE TV .....	16
PROTECTIA ALIMENTATOARELOR LA SUPRATensiUNE .....	20
SIMPO YO .....	24
PUNTE PENTRU MĂSURAREA COEFICIENTULUI DE REFLEXIE (IV) .....	27
DIALOG CU CITORII .....	30
ILUMINAT DE SIGURANȚĂ ECONOMIC .....	31
TESTER PENTRU RETELE RS232 .....	32

NEWS • NEWS

LM3647 - Controller pentru supravegherea încărcării acumulatoarelor

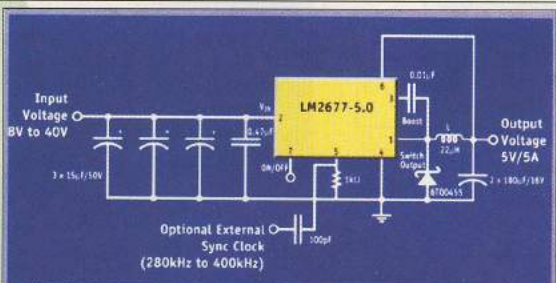


Realizat într-o capsulă S0-20 circuitul integrat LM3647 este special conceput pentru a asista procesul de încărcare a acumulatorelor Ni-Cd, Ni-MH și Li-Ion. Trei LED-uri și un buzzer oferă informații despre starea acumulatorului (stare avansată de uzură, scurtcircuit și.a.). Circuitul integrat supraveghează bornele sale, curentul de prealabil și descarcă.

**ză temperatura acumulatorului, căderea de tensiune la bornele sale, curentul de încărcare și bineînteleș, pentru o încărcare normală. În prealabil îl descarcă.**

Se pot încărca simultan două pâră la opt elemente Ni-Cd sau Ni-MH sau unu pâră la patru elemente de tip Li-Ion.

LM2677 - Regulator în comutatie - 5A



LM2677 face parte din familia denumită generic *"simple switcher"* a companiei National Semiconductor. Regulatorul este realizat în trei variante (pentru tensiunea la ieșire): 3,3V-varianta LM2677-3.3, 5V-varianta LM2677-5.0 și 12V-varianta LM2677-12.0.

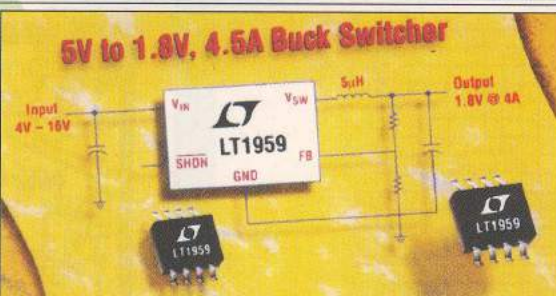
Randamentul este superior valorii de 90%.

Pinul de control 7, permite accesul la funcționarea convertorului, el fiind activ în logic. Oscillatorul intern lucrează pe 260kHz. La pinul 5, printr-o capacitate de 100pF, circuitul se sincronizează extern (optional) cu un semnal dreptunghiular cu frecvența de 280-400kHz.

La intrare se poate aplica tensiune în gama 8...40V. Consumul în standby este de 50UA.

Este realizat într-o capsulă TO-263 (7 pini) sau TO-220 (7 pini).

LT1959 - Regulador DC/DC coborâtor - 4.5A



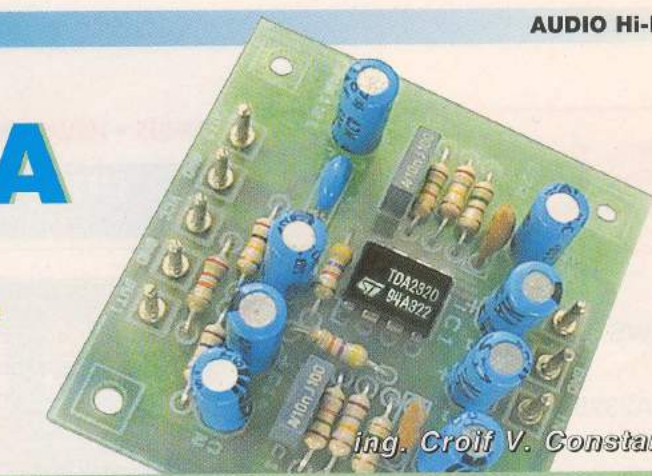
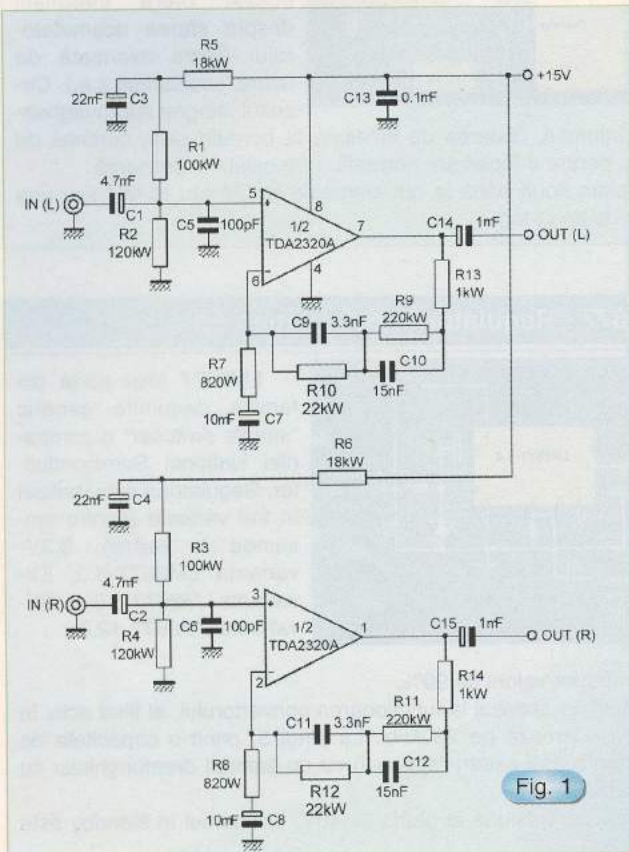
O realizare recentă de la Linear Technology în capsulă SO-8 (8 pini) este convertorul DC/DC Buck (cotorâtor) LT1959. Frecvența de lucru este superioară - 500kHz, ceea ce conferă montajelor cu acest circuit integrat gabarit foarte mic. Numărul componentelor externe

este redus la minim: condensatoarele filtru, divisorul rezistiv pentru tensiunea de reacție și, elementul de bază, bobina de numai  $5\mu\text{H}$ . Dispune de un pin pentru activare (/SHDN). Ca majoritatea regulațoarelor integrate moderne este realizat în mai multe variante: pentru 1.8V, 2.5V și 3.3V.

Tensiunea la intrare poate lua valori între 4V și 16V.

# TDA 2320A

## - aplicații -



ing. Croif V. Constantin

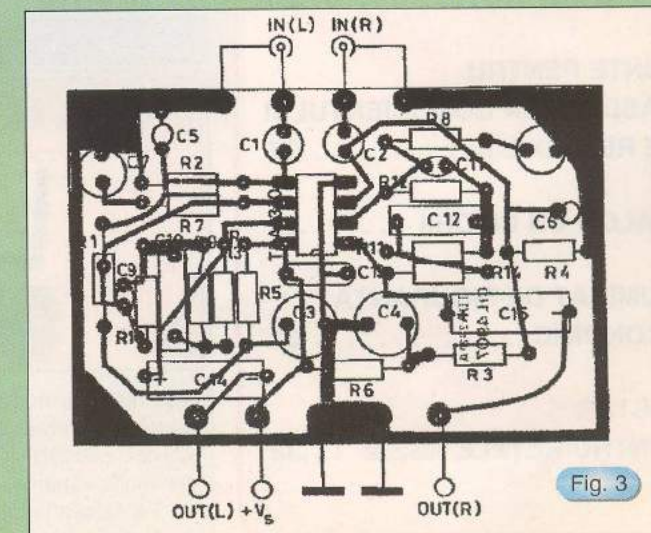
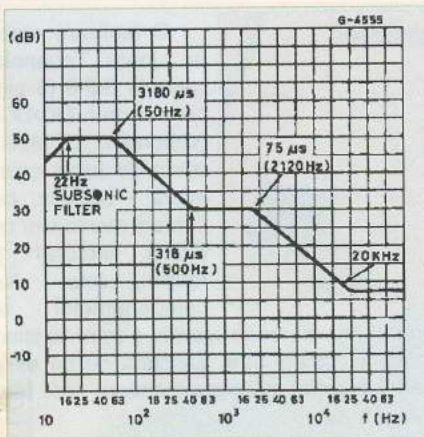
Redarea cât mai fidelă a programelor muzicale (de pe suport magnetic, optic, s.a.) presupune utilizarea unor componente de calitate în lanțul de amplificare. Pentru auditii de calitate producătorii de componente electronice caută să realizeze dispozitive (în mod special circuite integrate) care să producă distorsiuni ale semnalului audio cât mai mici, să genereze zgomot propriu mic, să prezinte consum redus de energie, să aibă plajă largă pentru tensiunea (tensiunile) de alimentare s.a.

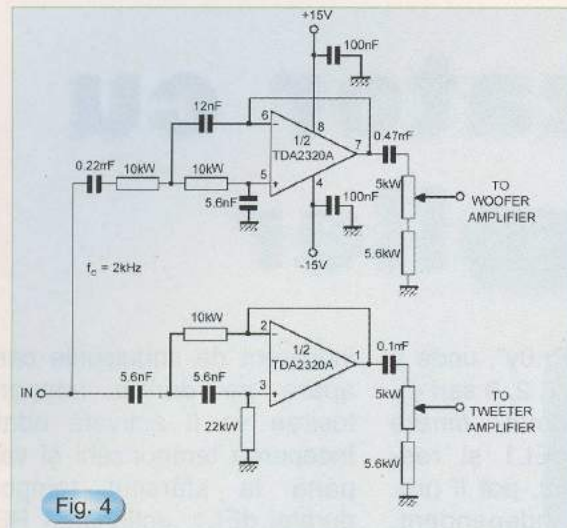
Realizat cu ST Microelectronics, circuitul integrat TDA2320A îtrunește calitățile prezentate mai sus. El este un dublu preamplificator în clasa A de funcționare, oferit într-o capsulă DIP cu 8 pini.

Circuitul se alimentează cu tensiune electrică în gama 3..36V<sub>CC</sub>, consumul fiind de 0,8mA.

O prezentare amănuntită a circuitului a fost realizată în numărul din noiembrie 1999 al revistei Conex Club la paginile 2 și 3 (tabelul *caracteristici electrice, schema electrică internă și curba THD = f(V<sub>O</sub>)*) în articolul "Preamplificator stereo" realizat de Conex Electronic și nu mai revin cu aceste informații. Continuăm a oferi câteva aplicații utile constructorilor amatori de aparatură Hi-Fi și din care vor rezulta posibilitățile multiple de utilizare a circuitului TDA2320A.

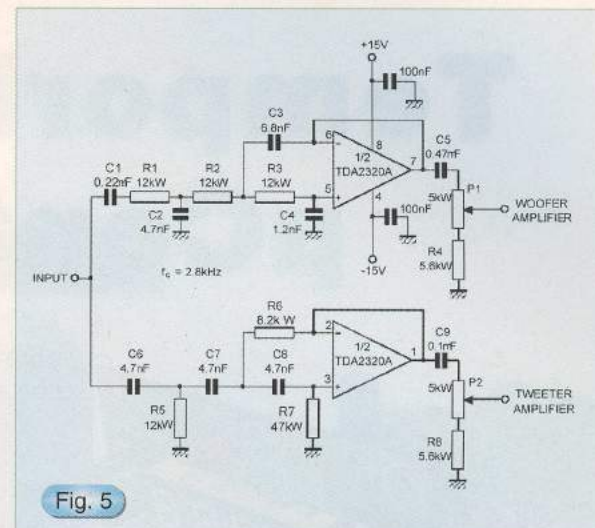
În figura 1 este prezentată schema electrică de aplicație a unui preamplificator RIAA în variantă stereo, cu alimentare la +15V<sub>CC</sub>, iar în figura 2 curba de răspuns a acestuia.





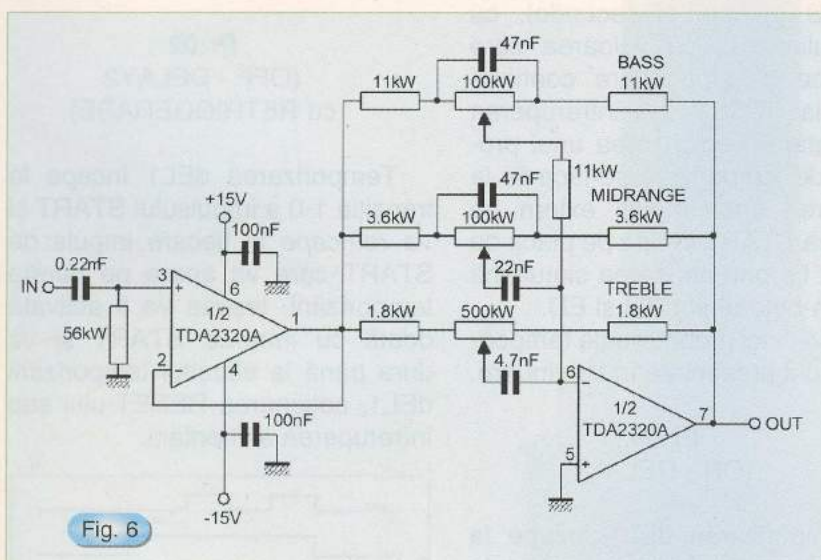
Producătorul, ST Microelectronics, oferă în foile de aplicații ale lui TDA2320A desenul cablajului

Pentru cei care doresc să realizeze filtre active la incintele acustice Hi-Fi le oferim schema de



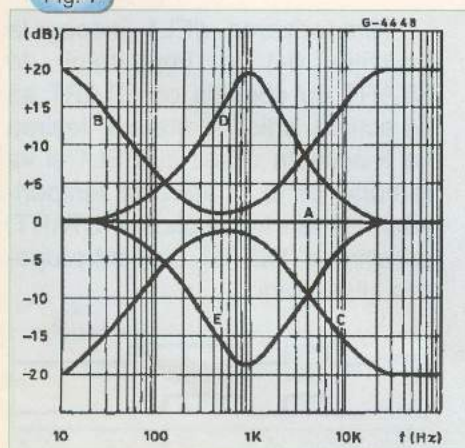
joase, medii și înalte. În *figura 6* este prezentat un controller pe trei benzi, în variantă monofonică, cu alimentare diferențială la  $\pm 15V_{cc}$ , iar în *figura 7* sunt oferite curbele de răspuns pentru diferite poziții ale cursoarelor celor trei potențiometre cu mișcare de translație: A - toate cursoarele pe poziții centrale (amplificare egală cu unu), B - bass și înalte pe poziții superioare (amplificare maximă), mediile pe poziție centrală, C - bass și înalte pe poziție inferioară (atenuare maximă), mediile pe poziție superioară, D - bass și înalte pe poziție inferioară, mediile pe poziție superioară, E - mediile pe poziție inferioară, bass și înalte pe poziții centrale.

Informațiile oferite sunt preluate din notele de aplicații ale lui TDA2320A - ST Microelectronics.



imprimat cu amplasarea componentelor la scara 1:1 (*figura 3*).

Fig. 7

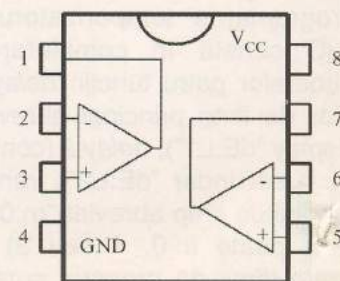


aplicație pentru un filtru Butterworth de ordinul doi la 2kHz (*figura 4*) și pentru un filtru Bessel de ordinul trei la 2,8kHz (*figura 5*). Atenuarea este de 12dB / octavă. Semnalele corespunzătoare pentru woofer și tweeter se culeg de la cursoarele potențiometrelor de  $5k\Omega$  și se aplică intrările amplificatoarelor corespunzătoare din lanțul de amplificare.

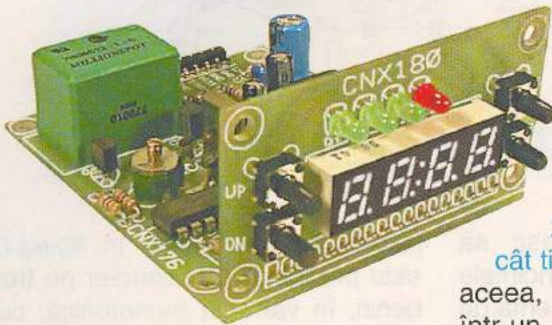
Subansamblul care nu trebuie să lipsească din acest lanț este controllerul de ton. Reglajul cel mai comod presupune controlul pe trei game: frecvențe



Fig. 8



# Temporizator cu µController



O realizare deosebită a laboratorului Conex Electronic este și temporizatorul pe care îl prezentăm. Acesta oferă posibilități multiple de utilizare în activitatea curentă, fiind echipat cu un afișor cu patru digiti, un microcontroller ( $\mu$ C) - condus de cinci variante de program și două *timere*. Prezintă două ieșiri, una pe contactele unui releu, iar cealaltă de tip "open collector". Temporizarea maximă este de 100 de ore cu o rezoluție de 0,01 secunde, iar afișarea se face în *format orar* (de la sutimi de secundă până la ore).

Pe panoul frontal sunt montate, alături de afișor, patru push-butoane pentru operare (UP/ DOWN/ PG [programare] / ED [editare]) și patru LED-uri care indică domeniul (LED-ul roșu) respectiv, emit flash-uri cu frecvență secundelor, minutelor și orelor pe domeniul de temporizare (LED-urile de culoare verde).

Programarea temporizatorului cu  $\mu$ C constă în completarea următoarelor patru funcții: *delay 1* (contor de timp principal abreviat pe display "dE:L1"), *delay 2* (contor de timp secundar "dE:L2"), *range* (domeniul de timp abreviat "rn:0x", unde x poate fi 0, 1 sau 2) și *program* (tipul de program curent

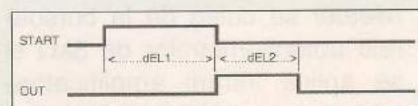
abreviat "Pr:0y", unde y poate fi 0, 1, 2, 3 sau 4).

Cele două *timere* interne, dEL1 și respectiv dEL2, pot fi programate independent, dEL1 contorizează întârzierea, iar dEL2 determină cât timp este acționat *releul*. De aceea, funcționarea lui dEL2 este într-un singur domeniu de timp MM:SS (minute și secunde), cu particularitatea că valoarea zero produce o temporizare continuă până la RESET sau întreruperea alimentării. Declanșarea unui program de temporizare se face fie la aplicarea unui impuls extern pe intrarea START (aflată pe placa de bază), fie prin apăsarea simultană a push-butoanelor PG și ED.

Cele cinci programe de temporizare sunt prezентate în continuare.

## Pr:00 (ON - DELAY)

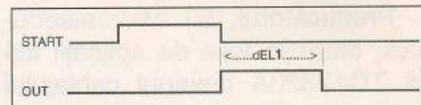
Temporizarea dEL1 începe la tranziția 0-1 a impulsului de START indiferent de durata acestui impuls. Ieșirea va fi activată de sfârșitul temporizării dEL1 și va rămâne activă pe durata setată pentru dEL2, acționarea RESET-ului sau întreruperea alimentării.



## Pr:01 (OFF - DELAY1)

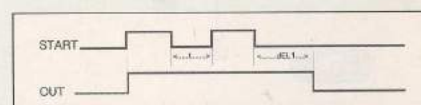
Temporizarea dEL1 începe la tranziția 1-0 a impulsului START

indiferent de impulsurile care vor apărea pe durata temporizării. Ieșirea va fi activată odată cu începerea temporizării și va dura până la sfârșitul temporizării duretei dEL1, acționarea RESET-ului sau întreruperea alimentării.



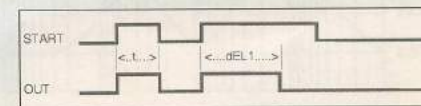
## Pr:02 (OFF - DELAY2 cu RETRIGGERARE)

Temporizarea dEL1 începe la tranziția 1-0 a impulsului START și va reîncepe la fiecare impuls de START care va apărea pe durata temporizării. Ieșirea va fi activată odată cu intrarea START și va dura până la sfârșitul temporizării dEL1, acționarea RESET-ului sau întreruperea alimentării.



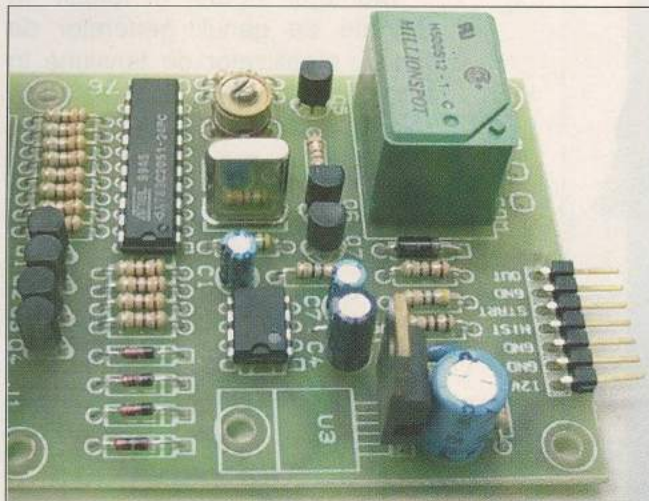
## Pr:03 (INTERVAL)

Temporizarea dEL1 începe la tranziția 0-1 a impulsului de START cu condiția ca START să fie activat, adică în stare 1. Ieșirea va fi activată odată cu dEL1 și va rămâne până la sfârșitul temporizării, căderea impulsului START, acționarea RESET sau întreruperea alimentării.

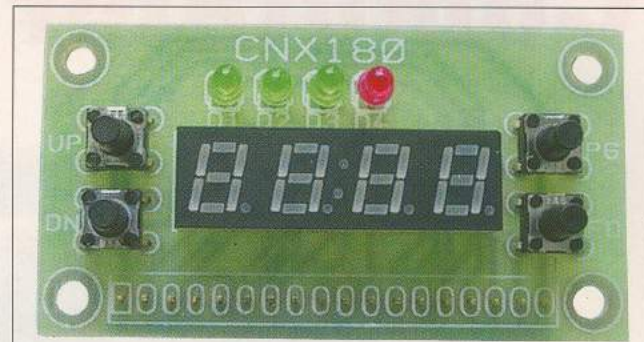


**Pr:04**  
(REPEAT CYCLE)

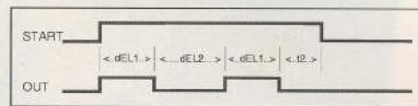
Temporizarea dEL1 începe la tranziția 0-1 a impulsului de START și va alterna cu temporizarea dEL2 în regim de astabil. Ciclul ia sfârșit la dispariția impulsului START, acționarea RESET sau întreruperea alimentării.



Placa de bază

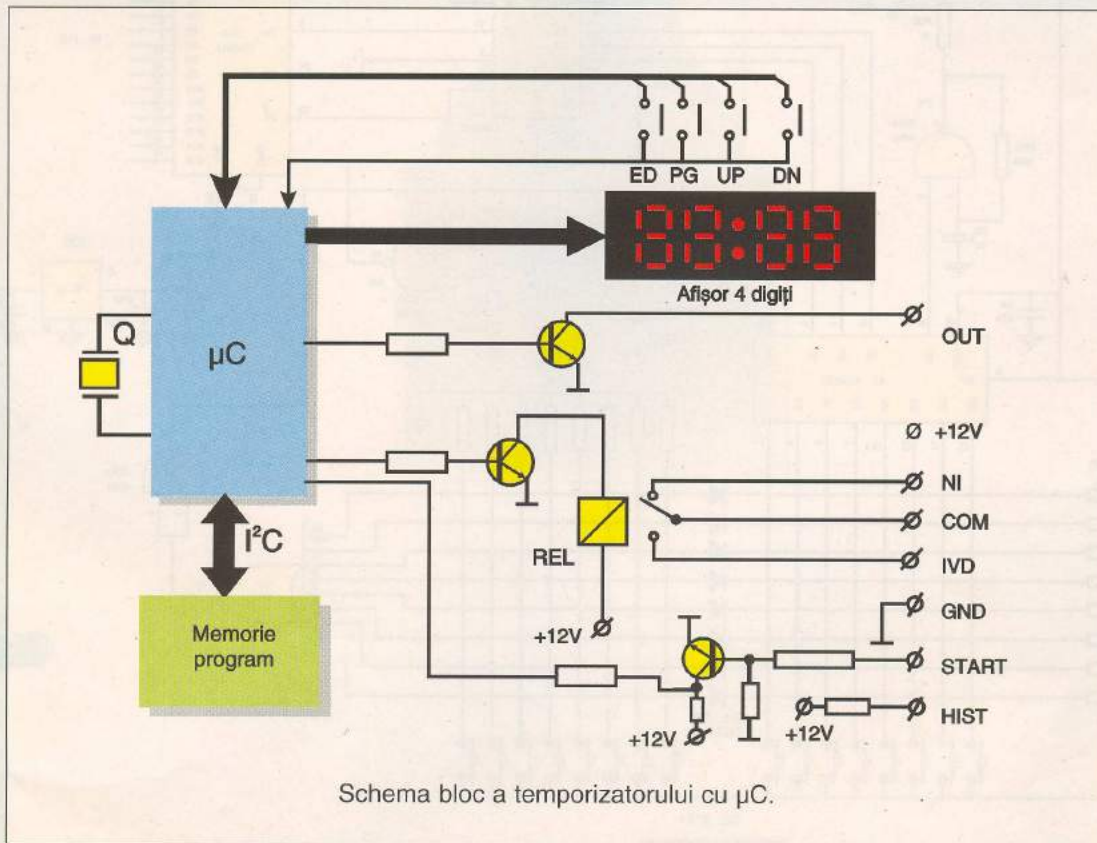


Panoul frontal



Montajul se alimentează cu tensiune continuă de 12V, consumul fiind de 200mA.  
Dimensiuni: 90 x 62 x 37mm.

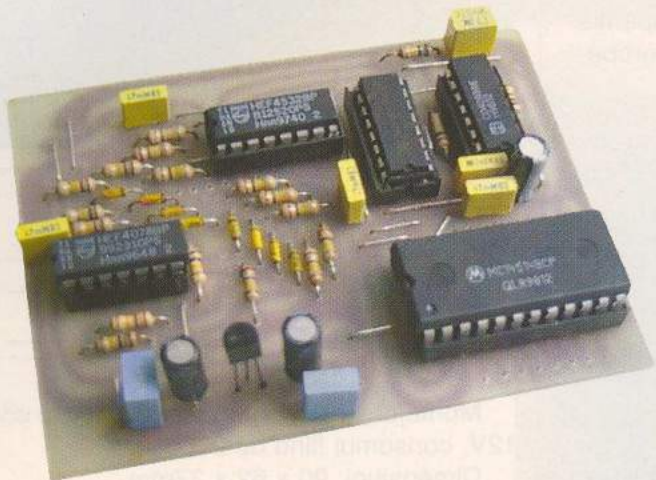
**Cod 1203**  
**Preț 406 000 lei**



Schema bloc a temporizatorului cu μC.

# Comutator electronic

Valeriu Marinescu



Comutatorul electronic prezentat este o aplicație a circuitului integrat CD4532 ce poate fi utilizat în orice montaj care necesită prezența unui comutator mecanic cu 16 poziții actionabil aleator.

Montajul poate fi folosit în aparate de genul: generator de funcții, stabilizator de tensiune în trepte, telecomandă, tastatură pentru televizor, programator pentru aparate radio actionate cu diode varicap, oscilatoare comandate în tensiune, mixere și comutatoare audio etc.

Circuitul CD4532 este un codificator de prioritățile cărui ieșiri  $Q_0 \div Q_2$  furnizează codul binar

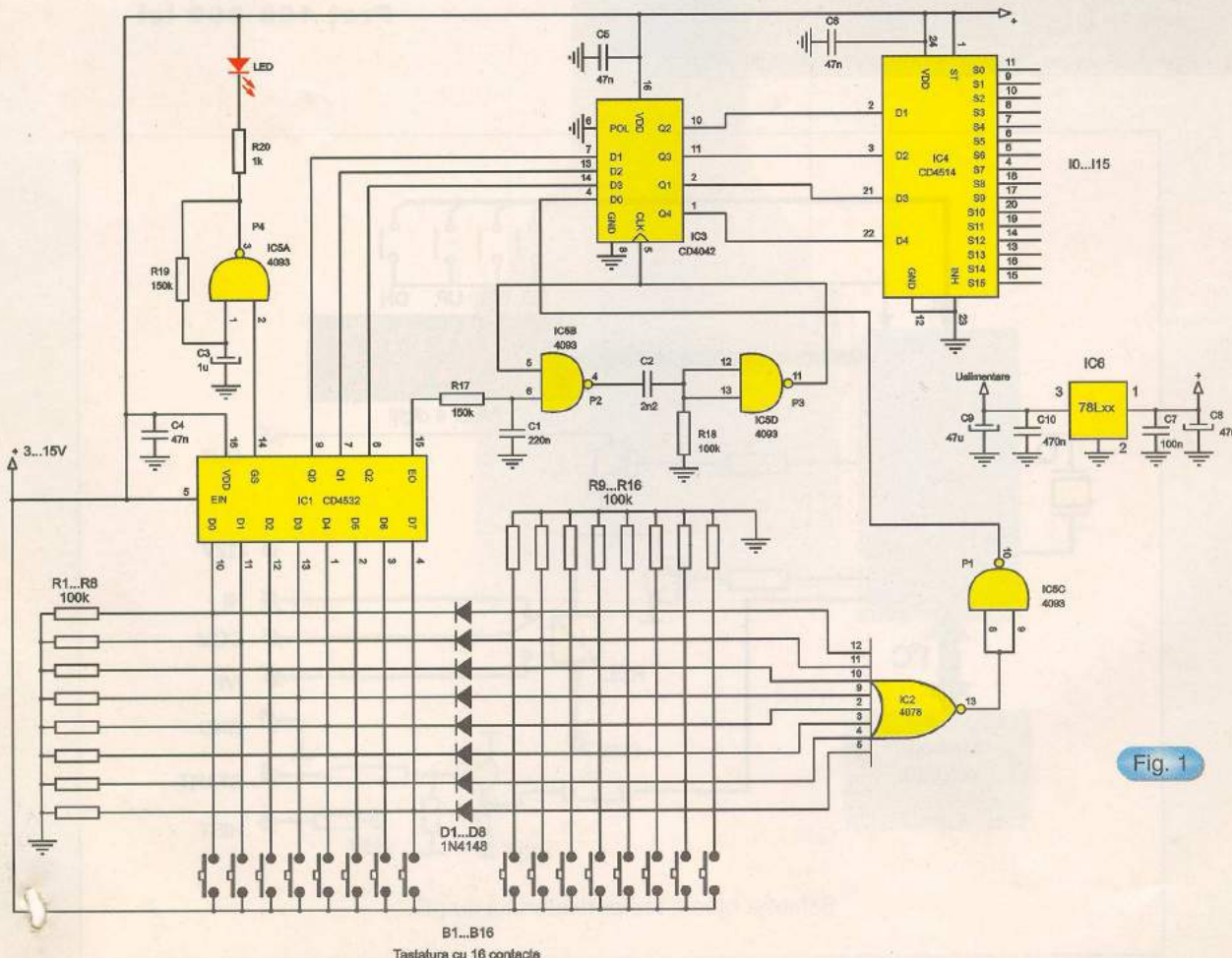


Fig. 1

al tastelor  $B_1 \div B_8$ . Realizarea unei tastaturi hexazecimale necesită, în mod normal, prezența a două circuite de acest tip conectate în cascadă, urmate de opt porti logice care realizează conversia codului.

	Număr selectat	Cod D C B A	Pin selectat de 4541
$B_1$	0	0 0 0 0	11
$B_2$	1	0 0 0 1	9
$B_3$	2	0 0 1 0	10
$B_4$	3	0 0 1 1	8
$B_5$	4	0 1 0 0	7
$B_6$	5	0 1 0 1	6
$B_7$	6	0 1 1 0	5
$B_8$	7	0 1 1 1	4
$B_9$	8	1 0 0 0	18
$B_{10}$	9	1 0 0 1	17
$B_{11}$	10	1 0 1 0	20
$B_{12}$	11	1 0 1 1	19
$B_{13}$	12	1 1 0 0	14
$B_{14}$	13	1 1 0 1	13
$B_{15}$	14	1 1 1 0	16
$B_{16}$	15	1 1 1 1	15

În figura 1 se remarcă prezența unui singur circuit și a unei porți NOR cu opt intrări de tip CD4078 care îndeplinește aceleași funcții, utilizând însă mai puține componente externe.

transmis la portile  $P_2 \div P_3$  și folosit pentru înscriverea memoriei de 4 biți IC3 CD4042.

Ieșirile acestui circuit sunt conectate la decodatorul cu reținere 1 din 16 CD4541 care, la rândul său, activează una dintre ieșirile  $I_0 \div I_7$  corespunzătoare butonului apăsat.

Comanda ieșirilor rămase  $I_8 \div I_{15}$  se face astfel: la actionarea uneia din tastele  $B_9 \div B_{16}$  se aplică nivel logic 1 atât lui IC1, cât și lui IC2-4078, ieșirea acestuia din urmă trecând în 0 (zero) logic. Acest 0 logic, transmis prin poarta  $P_1$ , este aplicat inversat la intrarea  $D_4$  a IC3-4042.

În aceste condiții, la ieșirea IC3 va apărea atât codul furnizat de IC1, cât și un 1 logic dat de poarta  $P_1$ . Codul rezultat astfel este aplicat decodificatorului care selectează un dintre ieșirile  $I_8 \div I_{15}$  asociate codului de la intrare, ieșire care va trece în 1 logic și va rămâne neschimbată până la primirea altei comenzi.

Tabelul alăturat prezintă funcționarea circuitului IC4-4541,

astfel preluarea comenzi. În locul LED-ului se poate monta un traductor piezoelectric comandat, desigur, de un alt montaj.

În cazul în care, în loc de o singură tastă sunt apăsate mai multe, simultan, cea mai înaltă dintre ele este selectată automat, aşa cum și este de așteptat de la un codificator de prioritate.

Circuitul IC4 poate fi înlocuit, cu modificările de rigoare, de CD4067, de două circuite CD4028 sau de echivalente HCT ca în care tensiunea de alimentare va fi obligatoriu de 5V.

#### Recomandări constructive

Alimentarea se poate face cu tensiuni cuprinse între 3 și 15V<sub>cc</sub>.

Decuplarea pinilor de alimentare se face separat cu condensatoare de 47 ÷ 100nF.

Este de preferat folosirea soclurilor și a stabilizatoarelor de tip 78LXX montate pe aceeași placă, acestea conferind montajului o imunitate sporită la "zgomot".

Pentru comanda unor tensiuni exterioare mai mari se vor folosi buffere realizate cu tranzistoroare

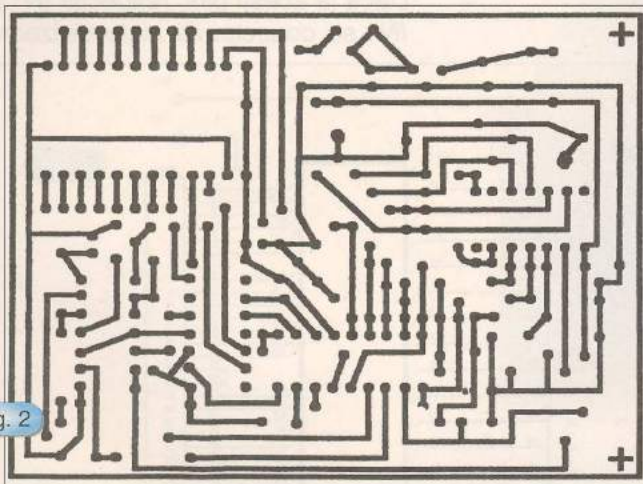


Fig. 2

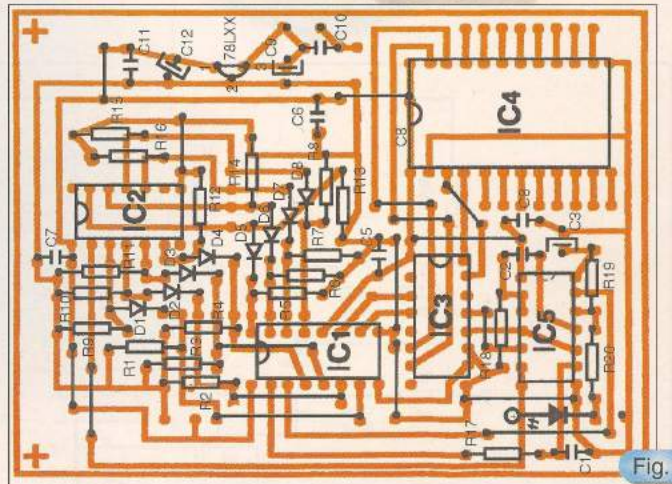


Fig. 3

#### Descriere și funcționare

La acționarea uneia dintre tastele  $B_1 \div B_8$  codul binar corespunzător acesteia apare la ieșirile  $Q_1 \div Q_2$  ale lui IC1.

Impulsul la terminalul  $E_{OUT}$  (pin 15) este întârziat de  $R_{17}$  și  $C_1$  și

precum și semnificația pinilor.

Pinul 14 al IC1, GS (selectie de grup), se află în nivelul logic sus atunci când oricare dintre butoane este închis și activează poarta P4, care, la rândul ei, aprinde cu intermitență LED-ul L1, indicând

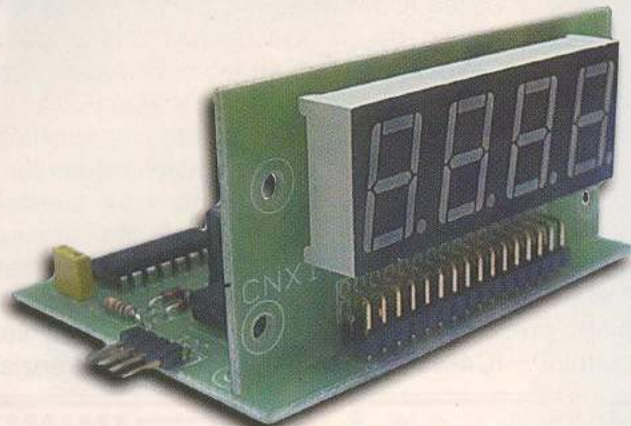
care vor fi conectate la ieșirile lui IC4, după caz, prin rezistoare de 10 ÷ 22kΩ.

Atenție la desenarea cablajului și mai ales la montarea componentelor (figura 2).

# Voltmetru Digital de Panou

Ca răspuns la sugestiile cititorilor inițiem un grupaj de articole referitoare la accesoriile destinate măsurării și evidențierii valorilor mărimilor unor semnale electrice.

Vor fi prezentate cu precădere voltmetrele digitale ce au încorporate atât afișoare LCD, cât și LED, știut fiind că prin mici adaptări acestea devin apte a evidenția și valorile curentilor electrici sau ai frecvenței și ne referim la circuitul integrat LM2917 cu funcția de convertor frecvență / tensiune.

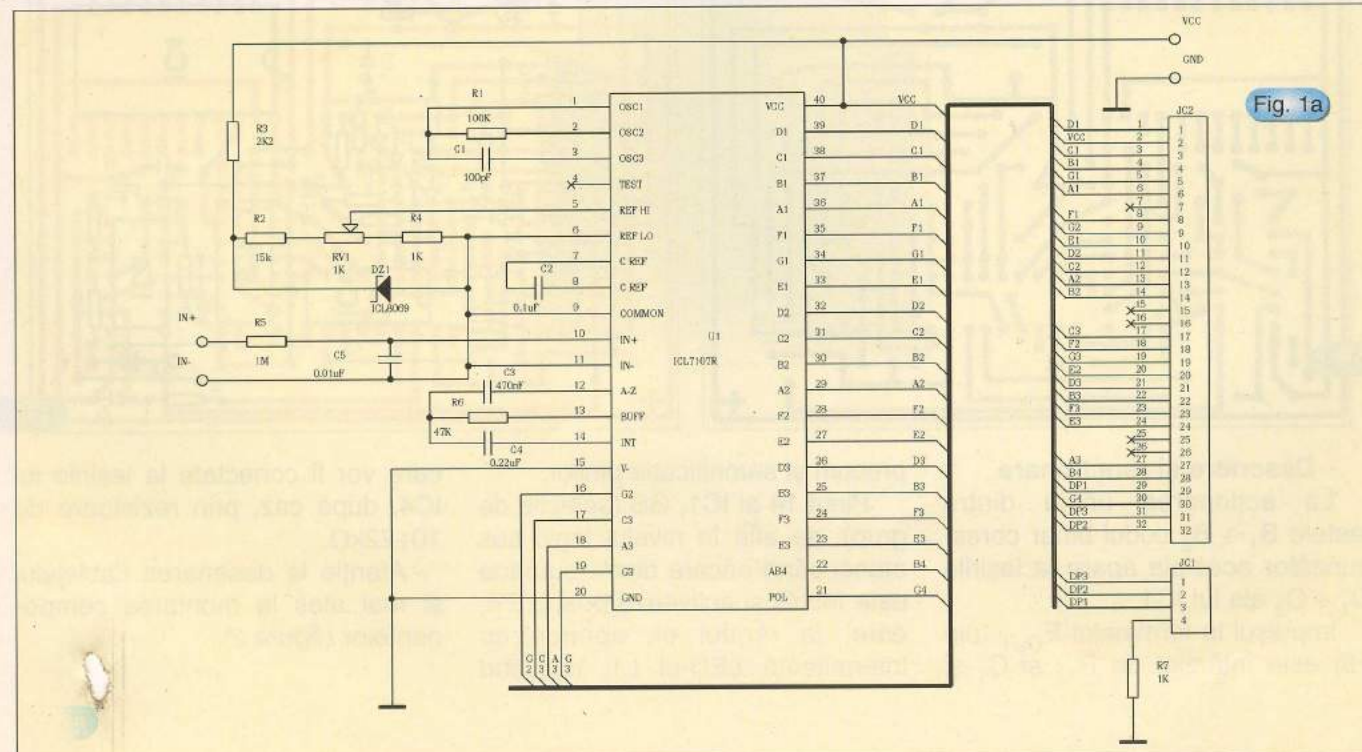


Voltmetrul electronic ce face subiectul prezentului articol are ca element de bază circuitul integrat ICL7107R. Acest circuit integrat specializat este deja cunoscut fiindcă a mai făcut obiectul prezentării noastre în numărul de debut al revistei Conex Club. În structura sa internă are integrat convertorul analog/digital necesar prelucrării numerice a semnalului testat și decodoarea pentru afișoarele cu șapte segmente. Rata de conversie este de 3Hz.

Afișarea valorii măsurate se face pe 3½ digiti, gama de măsurare fiind 0...199,9mV.

Schema electrică (figura 1) este o aplicație tipică a circuitului integrat ICL7107R.

Intrarea de măsurare este independentă de masa montajului. Dacă la acești pini, respectiv  $IN^+$  și  $IN^-$ , se conectează niște divizoare



rezistive, riguros calculate, se poate realiza un voltmetru cu mai multe game de măsură, superioare valorii de 0,2V (cât poate măsura maxim aparatul prezentat).

Ca sursă de tensiune de referință (DZ<sub>1</sub>) pentru circuitul integrat se poate utiliza ICL8069 sau LM385Z1,2 ce oferă o precizie ridicată.

Constructiv, montajul se compune din două module: *modulul voltmetru* (CNX177) și *modulul placă afișor cu 3½ digiti* (CNX178). Ele se interconectează cu ajutorul mufeii JC<sub>2</sub>.

Se remarcă existența mufeii cu pini JC<sub>1</sub>, în legătură directă cu punctele zecimale ale afișorului (DP1...DP4). Ele se pot aprinde în funcție de necesități prin conecta-

rea acestor pini la masă prin intermediul rezistorului R<sub>7</sub>.

Afișorul utilizat (U2) este de tip TOF5461 și poate fi procurat de la Conex Electronic.

După realizarea cablajului (figura 2, scara 1:1) și amplasarea corectă a componentelor conform figurii 3 și interconectarea celor două module se alimentează montajul cu +5V stabilizat. Se va conecta un voltmetru etalon între pinii 5 și 6 ai circuitului integrat U1 și se va regla din RV<sub>1</sub> astfel

#### Voltmetru digital de panou LED verde

Cod: 219

Preț: 235 000 lei

#### Voltmetru digital de panou LED roșu

Cod: 1741

Preț: 235 000 lei



încât tensiunea de referință citită pe voltmetrul etalon să fie 100mV, pentru a avea 199,9mV cap de scală.

Optional, Conex Electronic oferă *voltmetrul de panou* echipat cu afișor de culoare verde sau roșu și cu mască de afișaj cu filtru (roșu sau verde).

Dimensiunile montajului sunt:  
72 x 50 x 38mm.

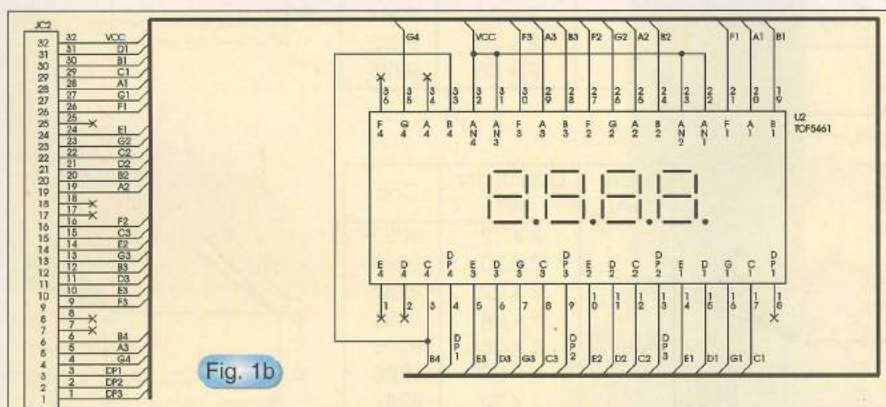


Fig. 1b

Schema electrică a plăcii de afișaj.

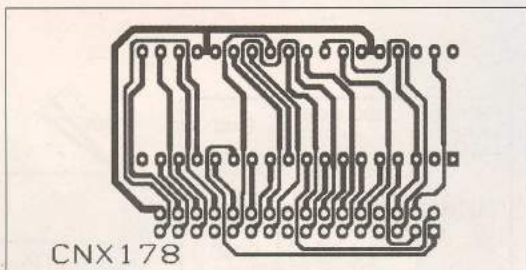


Fig. 2a

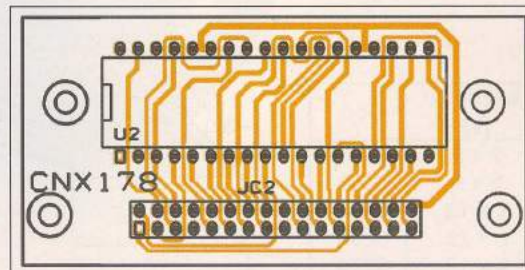


Fig. 3a

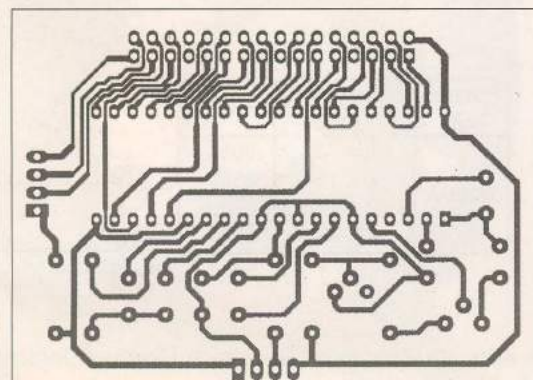


Fig. 2b

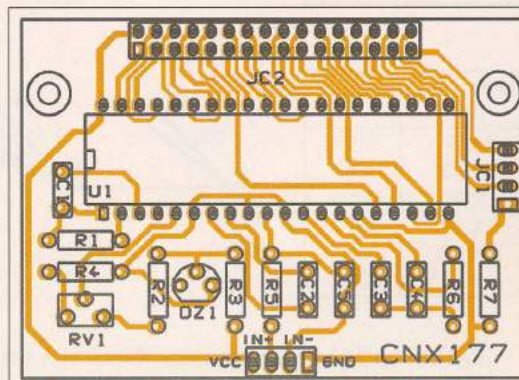


Fig. 3b

# Transformatoare toroidale

Utilizarea frecvență în aparatura electronică de producție curentă a transformatoarelor toroidale este justificată de avantajele acestora în comparație cu construcțiile clasice ce folosesc tole în formă E+I. Caracteristica unui transformator toroidal constă în geometria toroidală (de unde a căpătat și numele), iar aceasta asigură un randament care frecvent atinge 97...98% la puteri mari.

În comparație cu transformatoarele din tole întreatesute E+I, transformatoarele toroidale mai prezintă următoarele avantaje:

- jumătate din gabarit și greutate la aceeași putere;
- reducerea de cca. 8 ori a zgromotului produs;
- o zece din radiația câmpului electromagnetic spre exterior;
- montare ușoară și rapidă în echipamentele electronice;
- radiații termice reduse.

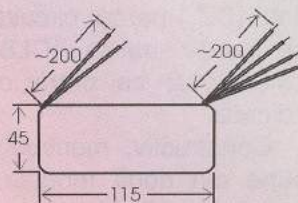
Putere [VA]	Usecundar [V]	Cod
	2 x 6	1605
	2 x 9	1555
20VA	2 x 12	1632
	2 x 15	1537
	2 x 18	4987

Putere [VA]	Usecundar [V]	Cod
	2 x 6	16935
	2 x 9	16936
40VA	2 x 12	16937
	2 x 15	16938
	2 x 18	16939

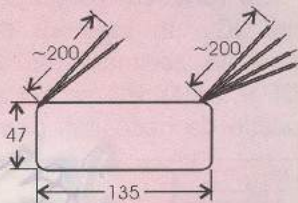
Putere [VA]	Usecundar [V]	Cod
	2 x 6	9290
	2 x 9	9291
63VA	2 x 12	9292
	2 x 15	9293
	2 x 18	9294

Putere [VA]	Usecundar [V]	Cod
	2 x 9	9267
	2 x 12	9268
100VA	2 x 15	9269
	2 x 18	9270
	2 x 22	9271
	2 x 24	9299

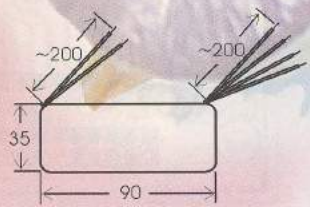
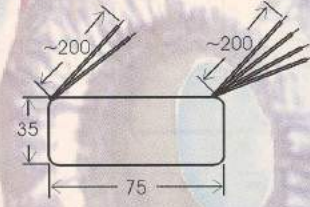
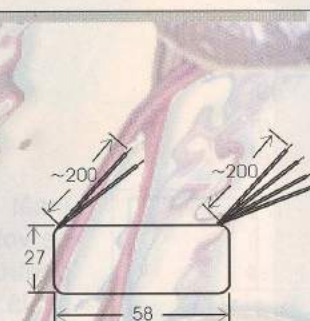
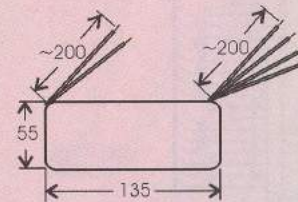
Putere [VA]	Usecundar [V]	Cod
150VA	2 x 9	9272
	2 x 12	9273
	2 x 15	9274
	2 x 18	9275
	2 x 22	9296
	2 x 24	9297
	2 x 26	9298



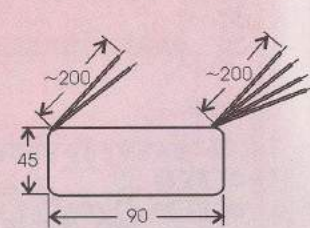
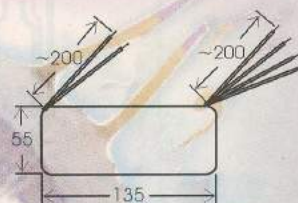
Putere [VA]	Usecundar [V]	Cod
250VA	2 x 12	9277
	2 x 15	9278
	2 x 18	9279
	2 x 22	9280
	2 x 24	9281
	2 x 26	9282
	2 x 28	9296



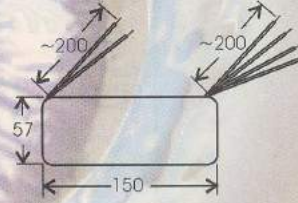
Putere [VA]	Usecundar [V]	Cod
400VA	2 x 12	9053
	2 x 20	9283
	2 x 22	9284
	2 x 24	9285
	2 x 26	9295
	2 x 28	9286
	2 x 30	9287
	2 x 32	9288
	2 x 36	9289



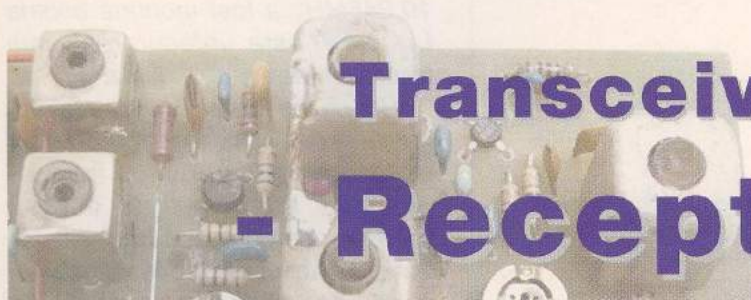
Putere [VA]	Usecundar [V]	Cod
500VA	2 x 12	9054
	2 x 18	9057
	2 x 24	9055
	2 x 26	9056



Putere [VA]	Usecundar [V]	Cod
630VA	2 x 12	9058
	2 x 15	8399
	2 x 18	8434
	2 x 24	9059



**Observație!** La secțiunea "Cod" din tabele este specificat codul intern Conex Electronic.



# Transceiver 2m - Receptorul -

Analizând schema bloc a transceiverului se poate observa că este construit din trei părți distincte: receptorul, emițătorul și oscilatorul.

Vom prezenta în prima parte receptorul, fiindcă el reprezintă interes mai mare și este mai dificil de realizat.

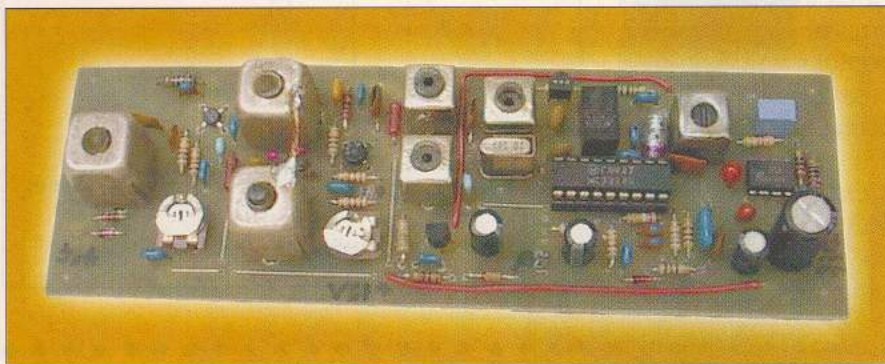
În esență, receptorul este construit pe principiul dublei schimbări de frecvențe ca să aibă calități electrice ridicate în transmisuni NBFM.

S-a urmărit utilizarea unor

fiecare exemplar de tranzistor pentru a obține amplificare mare și zgomot redus. De fapt, acesta este un compromis urmărit de toți constructorii de radioreceptoare de trafic. Currentul prin tranzistor se stabilește între 6 și 12mA, valoare ce se determină măsurând tensiunea pe rezistorul din emitor notat  $R_3$ .

La ieșirea tranzistorului T1 se află două circuite acordate ( $L_2$  și  $L_3$ ) care asigură selectivitatea receptorului.

Semnalul din banda de 2m este



componente în primul rând ieftine și apoi ușor de procurat dar care să contribuie la calitățile electrice - selectivitate și sensibilitate - respectiv bun raport semnal/zgomot.

Amplificatorul de radiofrecvență având un tranzistor BFR90 primește semnalul în bază de la primul circuit oscilant. Cuplajul cu antena se face inductiv. În locul tranzistorului BFR90 au mai fost testate și tranzistoarele KT3115 și 2SC3358. Toate probele au fost satisfăcătoare. Se observă că alimentarea bazei este fixată prin potențiometrul de  $10k\Omega$ . Reglajul polarizării bazei se face pentru

apoi aplicat etajului mixer construit cu tranzistorul BF964. Pe poarta 2 a acestui tranzistor este injectat semnal de la oscilatorul local (un VFO, o sinteză de frecvență, etc.).

Nivelul semnalului de la oscilatorul local trebuie să fie cuprins între  $800mV$  și  $1,2V_{ef}$ .

Polarizarea portii 1 este fixă, stabilită de tensiunea de sursă și aplicată prin  $R_7$ .

În drena tranzistorului, pe circuitul  $L_4-C_9$  semnalul are frecvența de  $10,7MHz$ , deci găsim prima frecvență intermediară.

Tot pe această frecvență este acordat și  $L_5-C_{11}-C_{12}$ . Semnalul cu frecvența de  $10,7MHz$  este aplicat

Apariția aparaturii industriale pentru traficul radio rezervat radioamatorilor se pare că nu a diminuat pasiunea de constructori a acestora. Mulți radioamatori care după ce au cumpărat unele echipamente, totuși continuă să-si doteze stația cu aparate "Home Made". În traficul obișnuit găsim corespondenți ce lucrează cu acest gen de aparatură - transceive - ale căror calități electrice le situează în rândul aparaturii performante. De remarcat, este faptul că cele mai multe construcții radioamatorice sunt în domeniul aparatelor de măsură și anexe, precum și antene.

Construcțiile proprii prezintă multe avantaje, pe lângă interes, ele reprezentând în primul rând, concretizarea unui act de cultură.

Este înbucurător faptul că mulți tineri au asemenea preocupări; la solicitarea lor, în special, vom prezenta construcția unui transceiver destinat a lucra în banda de 2m, cu modulație de frecvență. Acest transceiver a fost experimentat în laboratorul Conex Electronic și probat în trafic în cadrul Clubului YO3KYC. Autorii acestui transceiver YO3AVE și YO3CO mulțumesc observațiilor tehnice ale lui YO3IMS.

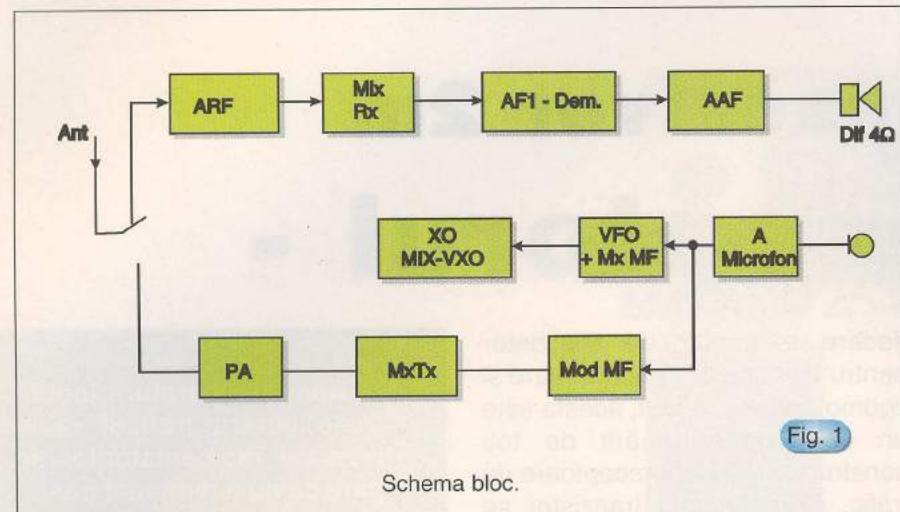


Fig. 1

la terminalul 18 a circuitului integrat MC3359 (CI-1).

Din datele de catalog rezultă că CI-1 se alimentează cu tensiune de 5,6V și pentru acesta a fost construit stabilizatorul coborâtor de tensiune cu tranzistorul  $T_3$  (BC171).

Montajul cu circuitul MC3359 urmărește recomandările producătorului Motorola dar montarea cuarțului cu frecvență de 10,245MHz a impus unele artificii constructive.

*Măsurând frecvența de oscilație a 10 exemplare de cuarțuri notate 10,245MHz s-a constatat că majoritatea au frecvență mai mare*

chiar cu 1,8kHz. Când se lucrează cu un VFO această situație nu este deranjantă dar când semnalul local este de la sineză sau când acest receptor face parte dintr-un transceiver atunci această abatere de frecvență este de rănită. Aceasta este cauză că într-un QSO emisia corespondentului apare decalată față de frecvența de lucru. Ca această situație să fie înălțată, în serie cu cristalul de

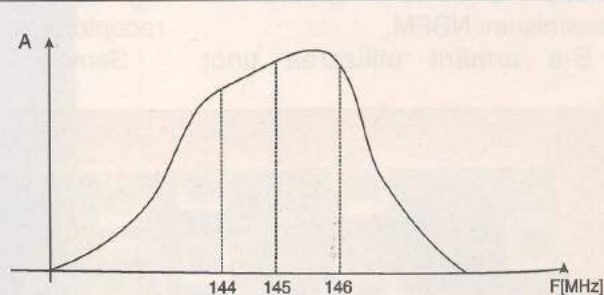
10,245MHz a fost montată bobina  $L_Q$  care este înfășurarea unui transformator de 10,7MHz.

Ca să se poată măsura exact frecvența de lucru a cuarțului a fost montat amplificatorul cu tranzistorul  $T_4$ . La colectorul acestui tranzistor se cuplază frecvențmetrul și se acționează miezul bobinei până se obține frecvența de 10,245MHz  $\pm 100\text{Hz}$ .

Această tarare a frecvenței oscilatorului este de mare importanță și de aceea am insistat. La pinul 8 de la CI-1 este montat un transformator acordat pe 455kHz pentru realizarea discriminării semnalului și care se regleză să se obțină o audiere optimă.

Potențiometrul  $P_3$  servește la reglarea sensibilității squelch.

De la condensatorul  $C_{17}$  com-



Caracteristica de frecvență a etajului de intrare.

**conex electronic**  
pune la dispoziția  
firmelor interesate  
spații publicitare în  
paginile revistei  
**conex club**

 **conex electronic**

Relații suplimentare se pot obține  
contactând serviciul comercial.

Tel: 242.22.06  
Fax: 242.09.79

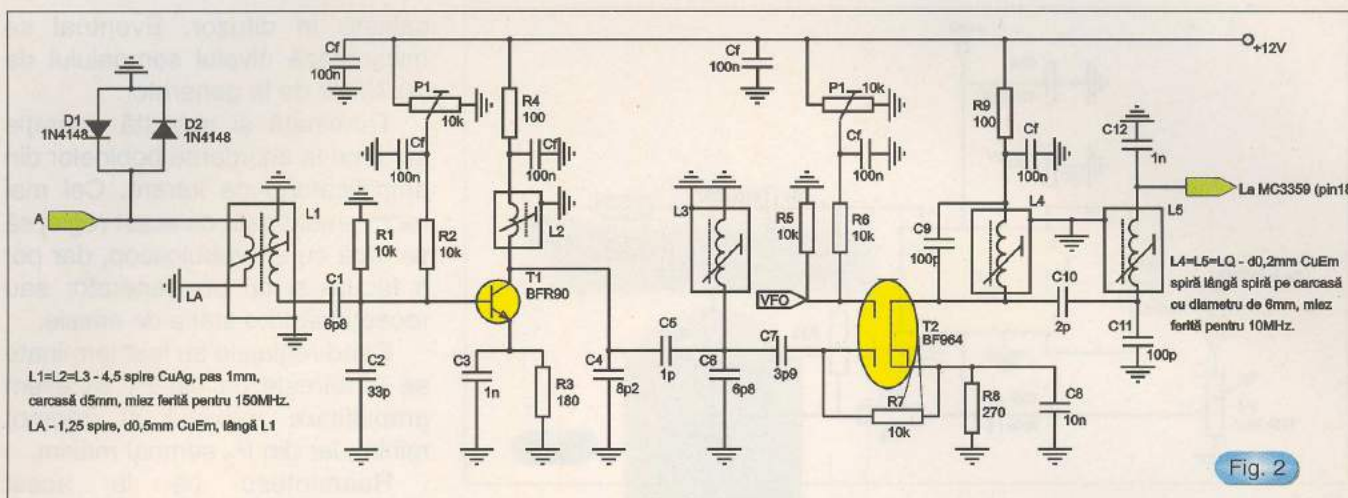


Fig. 2

ponenta de audiofreqvență este aplicată potențiometrului  $P_4$  respectiv amplificatorului de audiofreqvență.

Amplificatorul de audiofreqvență conține circuitul integrat CI-2 de tip LM386 care poate debita 300mW pe o sarcină de  $8\Omega$ .

Dacă bobinele  $L_d$ ,  $L_Q$ ,  $L_4$  și  $L_5$  sunt de tip industrial, construite special pentru scopurile amintite anterior, constructorul trebuie să aibă în vedere construcția bobinelor  $L_1$ ,  $L_2$  și  $L_3$ .

Pentru bobinele de la intrare se vor folosi carcase cu diametrul de

5mm prevăzute cu miez feromagnetic pentru VHF.

Astfel  $L_1$ ,  $L_2$  și  $L_3$  au câte 4,5 spire cu pas 1mm bobinate cu sârmă CuAg ø1mm. Înășurarea de cuplare a antenei  $L_A$  are 1,25 spire din sârmă de cupru-email cu diametrul de 0,5mm bobinată

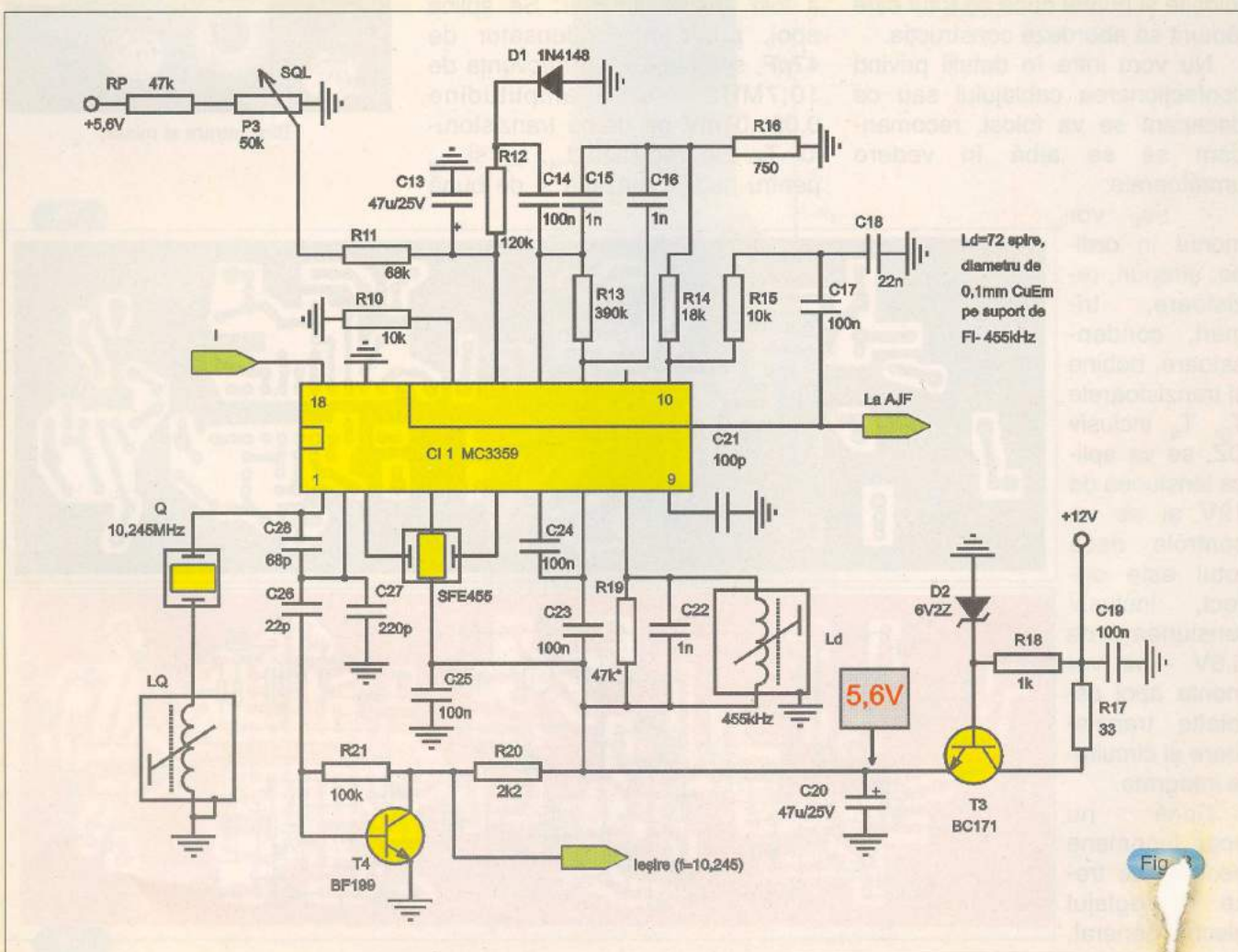


Fig. 3

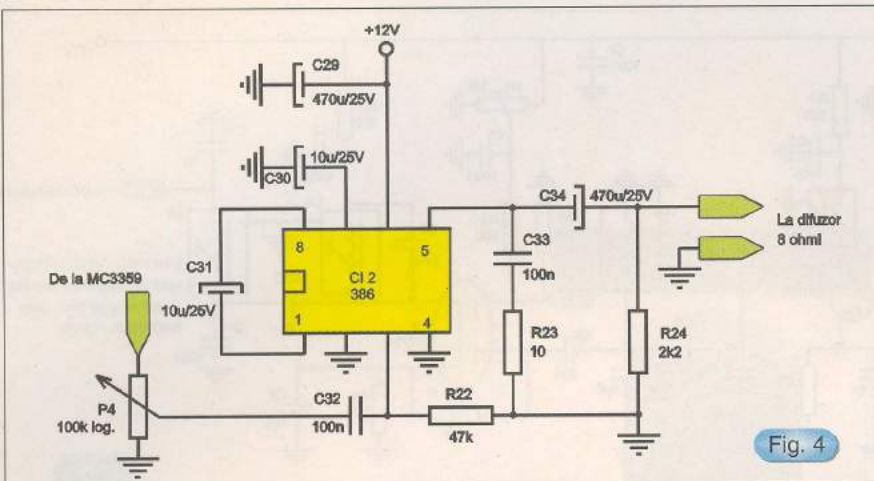


Fig. 4

lāngă L<sub>1</sub>.

Bobinele  $L_4$ ,  $L_5$  și  $L_Q$  sunt transformatoare de 10,7MHz, iar bobina  $L_d$  este un transformator FI-455kHz (72 spire ø0,1mm).

Cei ce doresc să construiască acest receptor trebuie să studieze schema electrică, să fie atenți la tipul și în special gabaritul pieselor folosite și numai după ce totul este lămurit să abordeze constructia.

Nu vom intra în detaliu privind confectionarea cablajului sau ce decapant se va folosi, recomandăm să se aibă în vedere următoarele:

- se vor monta în ordine: ștrapuri, rezistoare, trimeri, condensatoare, bobine și tranzistoarele  $T_3$ ,  $T_4$  inclusiv DZ, se va aplica tensiunea de 12V și se va controla dacă totalul este corect, inclusiv tensiunea de 5,6V - se vor monta apoi celelalte tranzistoare și circuitele integrate.

Dacă nu apar fenomene nedorite se trebuie să reglajuleze general.

Se verifică întâi buna funcționare a etajului final audio prin aplicarea la  $P_4$  a unui semnal (800...1 000Hz) cu amplitudinea de 0,1-0,3V și se ascultă în difuzor, reglând volumul.

Se reglează apoi bobina  $L_Q$  ca să avem semnal exact de 10,245MHz. Reglajul se face cum a fost amintit anterior. Se aplică apoi, printr-un condensator de 47pF, semnal MF cu frecvența de 10,7MHz și amplitudine 0,05...01mV pe drena tranzistorului  $T_2$ . Se reglează  $L_4$ ,  $L_5$  și  $L_d$  pentru auditie maximă și de bună



## Bloc intrare si mixer

Fig. 5

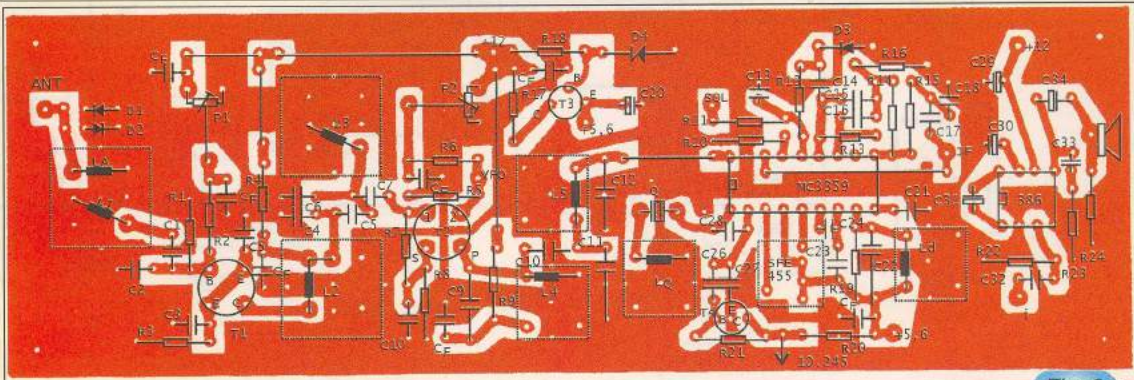
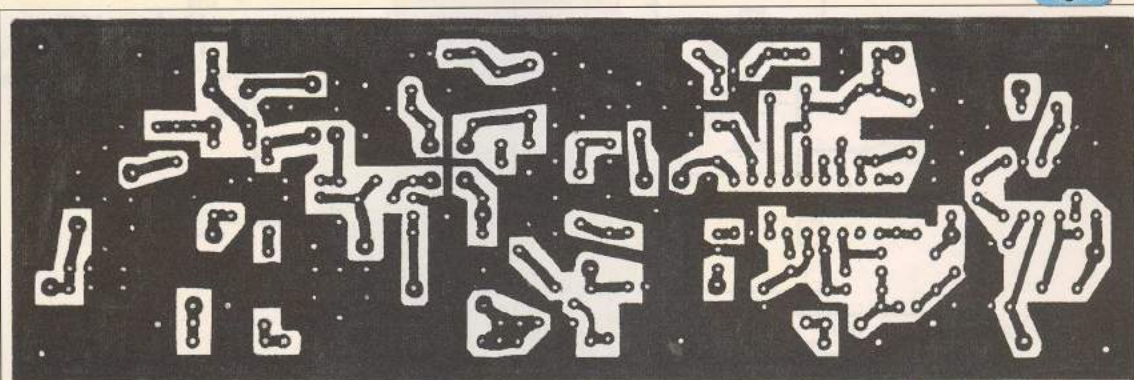


Fig. 6

# Tendințe în dezvoltarea componentelor semiconductoare de putere (III)

Prof. dr. ing. Smaranda Nițu

## 5. Redresoarele rapide

Diodele rapide au performanțele limitate de compromisul ce trebuie făcut între căderea de tensiune și viteza de comutație. Nici o soluție nouă nu a permis încă depășirea acestei dileme. În așteptarea unei soluții, producătorii se întrec în a imagina diode rapide optimizate. Numai materiale noi vor permite realizarea de diode cu performanțe realmente sporite. În 1995, apariția diodelor ultrarapide din AsGa a dat speranțe în acest domeniu. Totuși după ce doi fabricanți au lansat pe piață aceste diode, ele au fost retrase din cauza randamentului scăzut de producție. Acest eșec este semnificativ pentru problemele pe care le ridică introducerea de noi materiale.

Actualmente, carbura de siliciu (SiC) este candidatul care va permite realizarea de diode ultrarapide, ce vor fi utilizate în convertoarele din viitor. Fabricanții de dispozitive semiconductoare de putere au investit mijloace substanțiale pentru cercetări în acest domeniu. Se poate

Tabelul 1

	Si	SiC-6H	SiC-4H	C
$E_g$ [eV]	1,1	3	3,2	5,45
$E_c$ [ $10^5$ V/cm]	3	30	30	100
$\mu_n$ [cm <sup>2</sup> /Vs]	1500	350	1000	2200
$\mu_p$ [cm <sup>2</sup> /Vs]	600	50	50	1600
$n$ [cm <sup>-3</sup> ]	$1,4 \times 10^{10}$	$3 \times 10^{16}$		$1,0 \times 10^{20}$
$\lambda_{th}$ [W/cm K]	1,5	4,9	4,9	22
$V_{sat}$ [ $10^7$ cm/s]	1	2	2	2,7
$T_f$ [°C]	1420	2830	2830	4000

speră că, în curând, vor apărea mici redresoare ultrarapide, pentru câțiva amperi și 600V, dar dezvoltarea de componente bipolare de foarte înaltă tensiune, adaptate la IGBT-urile de înaltă tensiune și de curent mare, va fi lentă. Carbura de siliciu este încă foarte scumpă și, mai ales, are o densitate de defecte foarte ridicată. Aceste redresoare de putere vor fi foarte probabil "multipastile" și vor funcționa la temperaturi înalte. Realizarea de contacte care să suporte oboseala termică corespunzătoare acestor temperaturi va fi o altă problemă de rezolvat.

Carbura de siliciu posedă proprietăți fizice interesante pentru a satisface nevoile electronice de putere. Are o bandă de energie interzisă largă, care îi conferă proprietăți fizice datorită cărora ar putea servi la realizarea de

dispozitive, capabile să funcționeze la temperaturi înalte și, uneori, frecvențe înalte, care să revoluționeze aplicațiile electronice de putere.

Proiectanții sistemelor electroni-



ce urmăresc ameliorarea performanțelor componentelor, pentru a satisface aplicații din ce în ce mai exigente, în privința solicitărilor în viteză și, uneori, în temperatură. SiC poate deveni înlocuitorul siliciului pentru dispozitive unipolare cu o tensiune de ținere mai mare de 200V.

Pe piață sunt disponibile două structuri cristaline (denumite și politipuri) SiC-6H și SiC-4H care au fost sintetizate sub formă de substrat. În tabel sunt date proprietățile lor fizice, în comparație cu cele ale siliciului și diamantului (C) la 30°C [10].

Continuare în pagina 8

**Defecte tipice ale receptoarelor  
TV ELECTA, ANITECH, PROFEX, FIDELITY, TEK,  
KITT realizate cu același tip de șasiu: CKT 2190**

*ing. Cezar Constantinescu  
ing. Mihai Bășoiu*

**A. Simptom:** receptorul nu funcționează (lipsă sunet și lipsă rastru - lipsă lumină pe ecran).

**Localizare defect:** etajul de alimentare în comutatie - chopper. La măsurarea tensiunilor de ieșire rezultă că tensiunea principală de 115V este prea mare (180...220V).

**Cauza principală a defectării** - condensatorul  $C_{506}$  este uscat - își pierde capacitatea - și sarcina stocată în baza tranzistorului  $Q_{503}$  pe durata conducerii nu mai poate fi evacuată la începutul perioadei de blocare, iar miezul se saturează. Din acest motiv, apar o serie de defectări ale componentelor suprasolicităte.

- tranzistoarele  $Q_{506}$  și  $Q_{507}$  intră în scurtcircuit și receptorul nu mai poate fi comutat în STANDBY;

- tranzistorul  $Q_{305}$  - fial de linii - intră în scurtcircuit;

- condensatoarele  $C_{513}$  și  $C_{519}$  se pot "umfla" datorită depășirii tensiunii de 160V;

- este posibil să explodeze  $C_{501}$ .

**Atenție!** Pentru depanare se trece pe o sarcină artificială (un bec de cca. 60W). După depanarea alimentatorului, se vor controla toate componentele posibil defecte, enumerate mai sus și abia apoi se va conecta alimentarea chopperului la șasiu.

**B. Simptom** - receptorul nu funcționează (lipsă sunet și lipsă rastru - lipsă lumină pe ecran); se audе un "piuit" (fluierat de înaltă frecvență audio) din zona alimentatorului în comutatie.

**Localizare defect:** etajul de alimentare în comutatie - chopper. Etajul funcționează pe o frecvență de cca. 10kHz, în zona de audiofrecvență.

**Cauza defectării:** întreruperea  $R_{507}$ , sau  $C_{503}$ , din circuitul care stabilește frecvența de lucru a circuitului chopper.

**C. Simptom:** receptorul poate fi acordat numai pe canalele mici ale benzilor de canale TV.

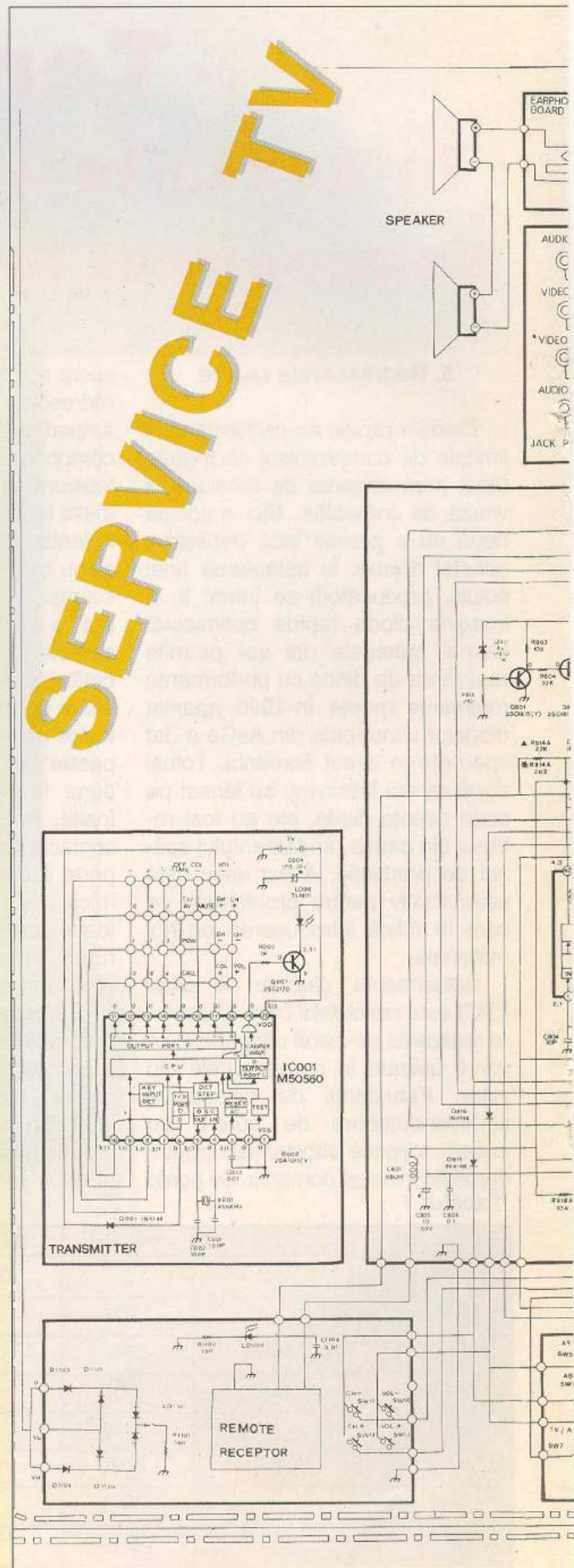
**Localizare defect:** circuitul de polarizare al diodelor varicap, care nu poate asigura tensiuni mari de comandă.

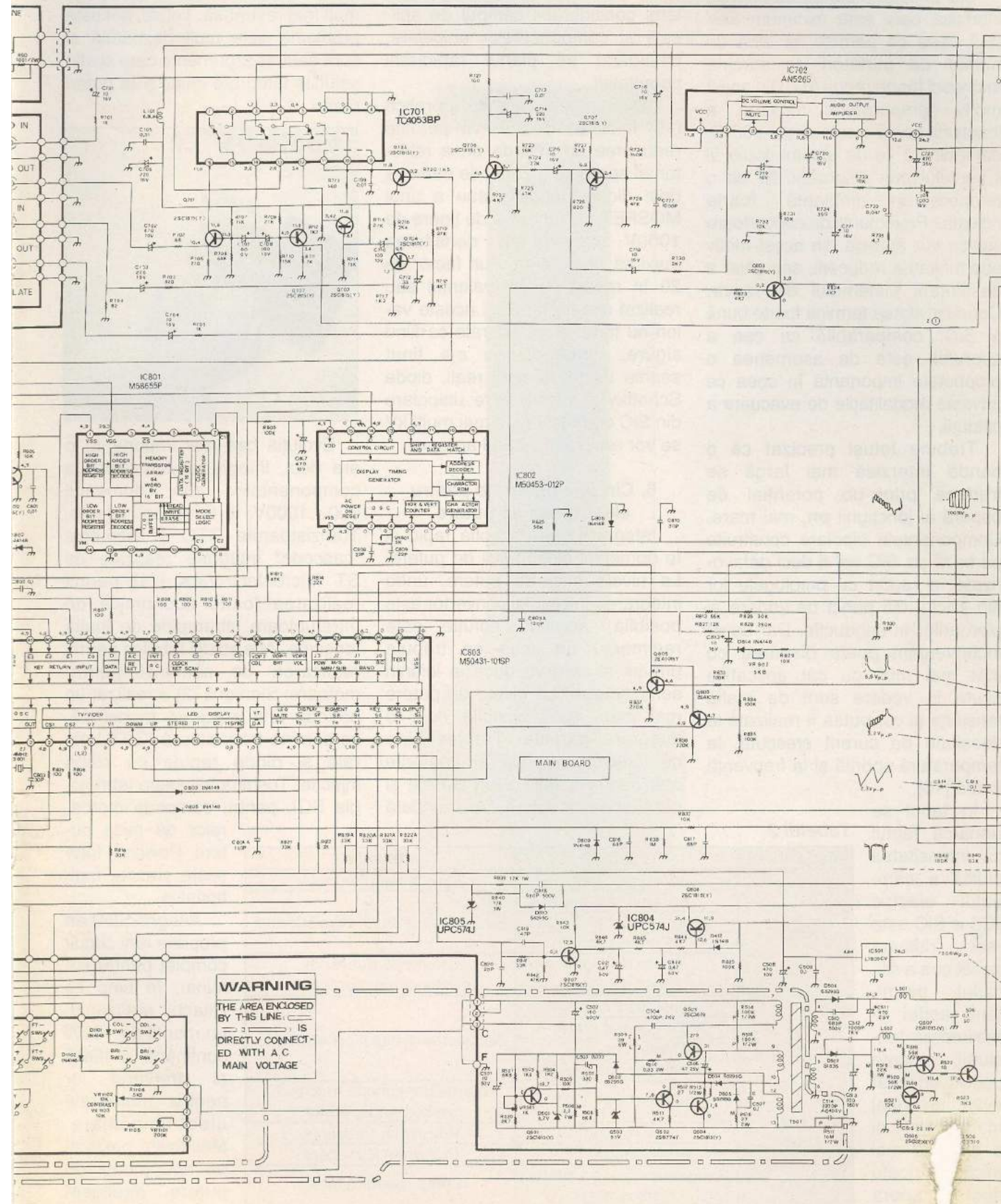
**Cauza defectului:** circuitul integrat stabilizator de tensiune IC804 de tip UPC574J (echivalent ZTK33) defect (în scurtcircuit).

#### Pornirea receptorului

Una dintre particularitățile acestor receptoare este că pornirea nu poate fi făcută decât prin telecomandă. La conectarea receptorului la retea din butonul de pornire, receptorul trece în "stand by", urmând ca pornirea propriu-zisă să fie realizată de la telecomandă. Din concepție, receptorul este însă prevăzut și cu posibilitatea pornirii directe, având posibilitatea montării diodei D803-IN4148, care pe șasiele vânzătoare în România nu este montată (sau este deconectată).

**- CONTINUARE ÎN NUMĂRUL VIITOR -**





## Urmare din pagina 15

SiC posedă o bandă de energie interzisă care este minimum  $3eV$  ( $E_g$ ) ceea ce permite să aibă un număr de purtători de sarcină intrinseci foarte redus ( $n_i$ ). Din acest motiv temperatura maximă a joncțiunii poate crește peste  $600^\circ C$ , determinată fie de efectul Joule al curentului prin dispozitiv, fie de o temperatură ambiantă foarte ridicată. Proiectanții de convertoare statice vor aprecia din acest motiv oportunitatea reducerii, sau chiar a desființării sistemului de răcire. Conductivitatea termică foarte bună a SiC, comparabilă cu cea a cuprului, este de asemenea o proprietate importantă în ceea ce privește modalitățile de evacuare a căldurii.

Trebuie totuși precizat că o bandă interzisă mai largă se traduce printr-un potențial de barieră al joncțiunii **pn**, mai mare. Componentele bipolare construite pe bază de SiC vor fi deci defavorizate în raport cu omologele lor din siliciu, din punct de vedere al pierderilor în conduction. Dar acest inconvenient poate dispărea cu atât mai mult cu cât aplicațiile avute în vedere sunt de înaltă tensiune și vor putea fi realizate la densitate de curent crescută, la temperatură sporită și la frecvență înaltă [10].

În tabel se remarcă faptul că intensitatea critică a câmpului electric ( $E_c$ ) a SiC este mai ridicată decât cea a siliciului, permitând astfel ameliorarea tensiunii blocate pentru un strat având un dopaj mai puternic și o grămeană mai mică: poate spera

reducerea compromisului densitate de curent în stare de conduction / tensiune blocată, deci de a lărgi considerabil câmpul de aplicații al componentelor unipolare, câștigând pe planul rapidității comutației.

După unele estimări teoretice [10] folosirea SiC-6H va permite reducerea de 180 de ori a rezistenței specifice a zonei de derivă a unei diode Schottky sau a unui MOSFET, cu tensiune de ținere de  $1000V$ , ameliorând densitatea maximă de curent cu un factor de 20 în raport cu echivalentul său realizat din siliciu. Deși aceste valori nu trebuie considerate ca fiind sigure, deoarece nu s-a ținut seama de toți factorii reali, diode Schottky și tranzistoare unipolare din SiC cu tensiuni de mai mulți  $kV$  se vor realiza în viitor apropiat.

## 6. Circuite integrate pentru electronica de putere

Integrarea se dezvoltă rapid și în domeniul electronicii de putere. La nivele mici de putere, unde integrarea întregului convertor este posibilă, această soluție este realmente un scop ce trebuie urmărit și care va duce la ieftiniri semnificative. La nivele de putere mai mari, este posibilă doar o integrare parțială. Trebuie bine căntărite avantajele și costurile atât pentru soluția integrată cât și pentru cea modulară. Deocamdată

piata preferă soluțiile modulare a căror flexibilitate este deosebit de mare. Soluțiile integrate au o piată mult mai restrânsă. Totuși, această problemă este mult dezbatută și sunt destule argumente care susțin soluțiile integrate chiar și la puteri mari.



Evoluția cea mai importantă o are deci, integrarea monolitică a componentelor din domeniul  $600\ldots1000V$ , în tehnologii diferite. Tranzistoarele GTO și circuitele "cascode" integrate realizate de ST Microelectronics [11] permit realizarea foarte economică de întreruptoare ultrarapide de înaltă tensiune. Alte soluții tehnice permit realizarea de comenzi pentru motoare: Siemens [2] a realizat un prototip prin integrare monolitică, ce conține tranzistoare IGBT laterale și diode rapide cu slabă injecție; Toshiba folosește tehnologia SOI; pentru comanda motoarelor de mică putere, Powerex folosește circuite multipastile.

Allegro-Sanken propune un circuit complet pentru iluminat, în timp ce Hitachi realizează un modul de  $150W$  conținând 6 IGBT și dreiverul lor pentru motoarele electromenajere. Mitsubishi prezintă un nou modul de putere inteligent

**Tabelul 2**

Dispozitivul	Tendința	Motivația
IGBT	Tehnologie "trench"	Reducerea pierderilor
	Tensiune mai mare	Reducerea prețului convertorului
	Frecvență mai mare	
	Integrale	
	Diode de regim liber din SiC	Crescerea frecvenței și reducerea pierderilor
IGCT	Tensiune mai mare	Reducerea prețului convertorului
	Curent mai mare	
	Dioda monilitică	
	Capsulare neermetică	
	Curent invers minim	Puterea consumată în circuitul de comandă, prețul
Dioda	di/dt mai mare	Pierderile, frecvența
	Realizare din SiC	Pierderile la blocare
GTO	Pierderea pieții în favoarea IGBT și IGCT	Prețul, performanțele

De mulți ani progresele potențiale pe care le vor aduce noile materiale suscătă interesul specialistilor din domeniul electronicii de putere. Apariția a numeroase prototipuri de calibru mic confirmă aceste speranțe. Dar maturizarea dificilă a materialelor noi face ca redresorul rapid de putere să rămână încă, punctul slab al componentelor de putere, în ciuda mijloacelor materiale importante puse la dispoziția cercetătorilor. Din contră, prin inovații pornind de la tehnologiile clasice ale siliciului,

au fost făcute progrese importante, concretizate rapid pe piață: prin apariția MOSFET-ului de înaltă tensiune și a tranzistorului IEGT. Aceste două noi dispozitive semiconductoare oferă noi posibilități proiectanților de convertoare, oferindu-le posibilitatea să aleagă soluția optimă între consumul de siliciu și folosirea răciri forțată; există și mai multă libertate în ceea ce privește posibilitățile de comandă a dispozitivelor comandabile.

Practic, proiectantul poate

acționa foarte eficace prin intermediul comenzi asupra comportării dispozitivului, în timp ce la un dispozitiv cu reacție pozitivă dispozitivul însuși impune desfășurarea procesului de comutăție.

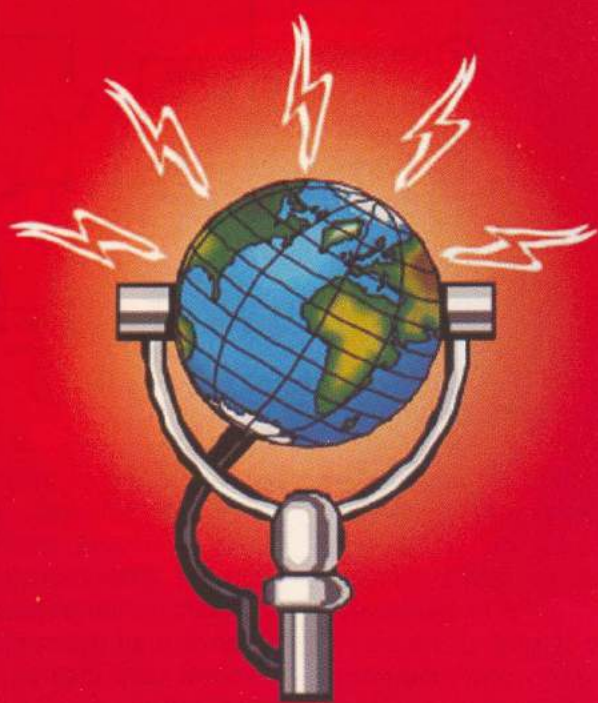
Aceste inovații nu fuseseră prevăzute, ele necesită mai puține mijloace tehnologice decât procente de obținere a n materiale și dovedesc creativitatea umană. Poate că asemenea inovații vor putea fi aplicate și rudei sărace a dispozitivelor, dioda redresoare rapidă. Viitorul rămâne deschis.

ASPIM (Application Specific Intelligent Power Module) care include în aceeași capsulă o punte trifazată cu IGBT-uri, circuitele de comandă, circuite integrate de

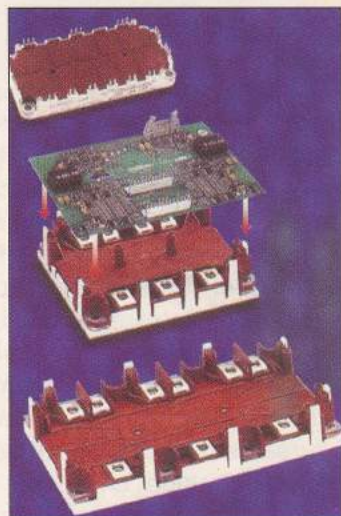
înaltă și joasă tensiune, numeroase funcții de protecție (scurtcircuit, cădere de tensiune...) și, eventual, o punte redresoare și un IGBT pentru frânare. Acest modul

se conectează direct, între organul de comandă (microcontroler) și sarcină (motorul). Infineon asociază în aceeași capsulă un CoolMOS și un dreiver PWM, sub denumirea de CoolSet.

## radio **delta** rfi 93.5 fm



# Asculță ce mică e lumea!



Integrarea din ce în ce mai complexă, cerută de piețele cu mare potențial de desfacere, cum sunt automobilele, aparatura electromenajeră sau iluminatul, se dezvoltă permanent. Avantajele sistemelor integrate sunt evidente: construcție compactă; răcire integrală, optimă; funcționare fără interferențe. Soluțiile realizate în mod curent actualmente sunt pentru curenți de până la 30A și tensiuni nominale de 1200V.

O prezentare sintetică a tendințelor de dezvoltare pentru diferite dispozitive semiconductoare de putere este făcută de firmă BB și dată în *tabelul 2*.

# Protecția alimentatoarelor la supratensiune

Multe surse de alimentare trebuie să furnizeze o tensiune stabilizată pentru sarcini deosebit de pretențioase: transceiver industriale, plăci cu circuite integrate scumpe, etc. Orice supratensiune aplicată acestora poate provoca pagube considerabile. În cazul stabilizatoarelor de tensiune, mecanismul asigurării unei tensiuni constante la ieșire se bazează pe existența în amontele elementului de reglare a unei tensiuni mai ridicate.

ing. Stefan Laurențiu

Din tensiunea cu valoare ridicată de la intrare, printr-un mecanism de reglare, se obține tensiunea de ieșire stabilizată necesară. Dacă apare un defect, prin scurtcircuitarea elementului de reglare serie, întreaga tensiune (mare) de la intrarea stabilizatorului se regăsește la ieșire, deteriorând sarcina. Un fenomen similar se poate produce și în cazul unei surse de tensiune ce lucrează în comutatie, unde un defect de izolație (al transformatorului sau al unui optocuplu de pe calea de reacție) poate produce defectarea catastrofă a sarcinii.

Utilizarea unor simple protecții de tip *diodă stabilizatoare - tiristor* prezintă dezavantajul unei comportări necorespunzătoare (sensibilitate ridicată la zgomote, comanda necorespunzătoare a tiristorului de scurtcircuitare) și a imposibilității reglării valorii de prag de la care acționează protecția. Mai mult valoarea de prag depinde de toleranța tensiunii nominale a diodelor stabilizatoare utilizate. Deși diodele sunt specializate (pentru protecție împotriva supratensiuni-

nilor tranzistorii) sunt uneori o soluție ieftină, nu asigură întotdeauna protecția necesară. În cazul construirii unei surse de alimentare dedicate unor consumatori pretențioși, se justifică utilizarea unui modul de protecție ceva mai performant.

Schema de protecție prezen-

tată în continuare se bazează pe sesizarea permanentă a tensiunii pe sarcină și, în cazul unei supratensiuni, se scurtcircuitează tensiunea de intrare în stabilizator, activându-se astfel protecția la scurtcircuit (fie prin siguranță fuzibilă, fie prin alte metode). Metoda este denumită în literatura de specialitate "crowbar" (rangă, element de scurtcircuitare *ad hoc*). Se utilizează un circuit integrat specializat, dedicat acestui tip de protecții - MC3423P, cu schema

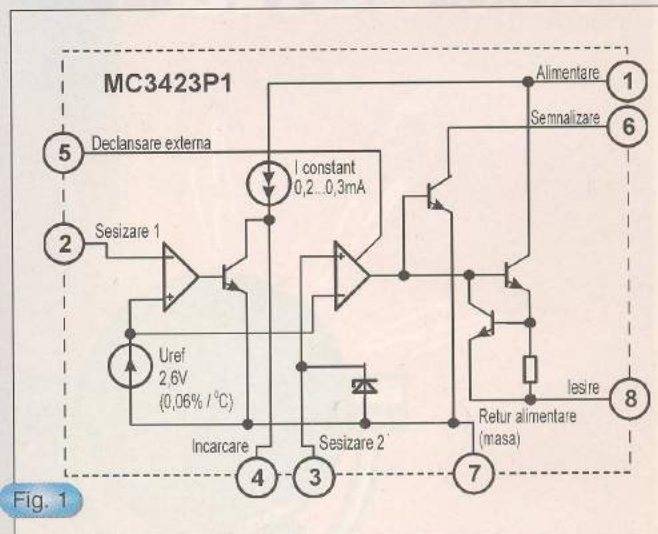
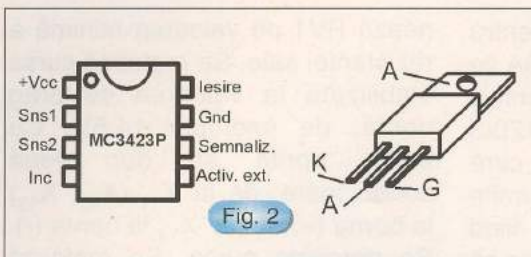


Fig. 1

bloc din figura 1. Circuitul conține o sursă de referință, de calitate bună, cu derivă termică redusă, care are tensiunea de 2,5...2,6V, un circuit de temporizare conceput pe baza unui generator de curent constant care încarcă un condensator extern, două comparatoare speciale și un circuit de ieșire. Atât timp cât tensiunea la ieșirea sursei este sub valoarea de prag pentru declanșare, condensatorul este menținut descărcat. Atunci când apare o supratensiune începe



încărcarea condensatorului. Dacă supratensiunea este un eveniment cu adevărat periculos și nu un impuls parazit, un al doilea comparator declanșează, prin intermediul etajului de ieșire, elementul de putere care scurtcircuitează tensiunea de alimentare a stabilizatorului. Etajul de ieșire este special proiectat pentru a asigura comanda optimă în poartă pentru tiristoare sau triace și are încorporată protecție la scurtcircuit. Circuitul dispune și de o ieșire de semnalizare a activării protecției la supratensiune. Pragul de declanșare poate fi reglat printr-un divizor rezistiv extern, iar durata temporizării pentru filtrarea perturbațiilor se poate stabili prin alegerea corespunzătoare a valorii condensatorului extern. MC3423 mai dispune și de o intrare separată care permite activarea rapidă a protecției, evitând temporizarea.

MC3423 poate fi alimentat până la tensiuni de 40V și consumă un curent de cca. 6 mA. Etajul de ieșire poate comanda curenti de ieșire de cca. 300mA. În *figura 2* se arată capsula circuitului (DIL8) și disponerea terminalelor la aceasta.

Schema circuitului de protecție la supratensiune este prezentată în *figura 3*. Aici s-a indicat și modul de conectare al modulului de protecție la supratensiune cu un exemplu tipic de stabilizator linear. Valorile indicate sunt calculate pentru protecția echipamentelor care lucrează la o tensiune nominală de 13,5V (transceiver radio).

Tensiunea de prag pentru acționarea protecției se reglează din  $RV_1$  și poate fi ajustată între 11,8...15,1V. Constanta de timp de

filtrare a perturbațiilor aleatoare, considerate nepericuloase, a fost aleasă de 1ms. Această valoare se poate modifica acționând asupra valorii condensatorului  $C_2$ .

Timpul de răspuns al întregului circuit cuprinde desigur și alte constante de timp: durata amorsării tiristorului, durata necesară arderii siguranței fuzibile sau activării protecției la scurtcircuit, etc.

A fost folosit și terminalul de activare rapidă; utilizând pentru comanda lui tensiunea supravegheată, preluată printr-o diodă stabilizatoare convenabil aleasă (cu tensiunea nominală de 15V) se poate realiza o supraveghere oarecum redondantă: pentru supratensiuni moderate circuitul funcționează "temporizat" filtrând perturbațiile, iar în caz de supratensiune importantă acțiunea sa este rapidă. Pragul de activare rapidă este aproximativ egal cu  $U_Z + 1,4V$ , fiind în cazul unei diode stabilizatoare cu  $U_{Znom} = 15V$  de aproximativ 16,5V.

Schela din *figura 3* cuprinde și un circuit de semnalizare cu automentinere, realizat cu  $VT_1$ ,  $VT_2$  și componente aferente. Semnalizarea se face prin aprinderea unei diode luminiscente. Odată aprinsă, dioda rămâne în această stare, chiar și după dispariția supratensiunii, până la întreruperea de la rețea a alimentării în circuitul de intrare al stabilizatorului.

Circuitul  $V_1$  este alimentat prințr-un grup RC de filtrare. Pentru protecția sa (schema se poate utiliza pentru valori de tensiune supravegheate între 4 și 35V) s-a prevăzut și o diodă stabilizatoare. Tensiunea nominală a acestei diode ( $VZ_1$ ) a fost aleasă de 33V, ținând cont de valoarea maximă de 40V a tensiunii de alimentare a circuitului. Din aceleasi considerente tensiunea de lucru a condensatorului C a fost aleasă de 50V.

În poarta tiristorului s-a introdus un circuit de limitare a curentului de poartă ( $R_{10}$ ). Valoarea acestui rezistor este dependentă de tensiunea de alimentare (cca. 3Ω/V). Grupul  $R_{11}-C_4$  asigură o protecție suplimentară împotriva declanșărilor intempestive, prin introducerea unei constante de timp și prin eliminarea sarcinii stocate în jonctiunea poartă - catod.

Rezistoarele și potențiometrul semireglabil din divizorul de tensiune ( $R_7$ ,  $RV_1$ ,  $R_8$ ) trebuie să fie de calitate. Am ales rezistoare cu peliculă metalică, cu toleranță de ±1% (astăzi disponibile și relativ ieftine) și un potențiometru semi-regabil multitor. Se recomandă ca  $R_8+RV_1$  să fie sub 10KΩ. În schemă, se observă conectarea cât mai aproape de sarcină a terminalului de sesizare a tensiunii (conectorul  $X_{12}$ ).

Relațiile de calcul pentru alte tensiuni și alte dure de temporizare sunt indicate în continuare:

$$U_{\text{acționare temp}} = U_{\text{ref}} \frac{(1 + RV_1 + R_8)}{R_7}$$

$$\text{cu } U_{\text{ref}} = 2,5V$$

$$R_9 [\text{k}\Omega] = \frac{+V_{\text{in}} - 10V}{25mA}$$

$$C_3 > \frac{R_9 (R_7 + R_8 + RV_1)}{R_7 (R_8 + RV_1)} \cdot 10\mu F$$

$$C_2 = \frac{I_{\text{incărcare}} \cdot t_{\text{temporizare}}}{U_{\text{ref}}}$$

$$\text{cu } U_{\text{incărcare}} = 0,2...0,3mA$$

$$U_{\text{ref}} = 2,5V$$

Drept element de putere s-a utilizat un tiristor cu capacitate mare de curent și cu curent de poartă redus. Deoarece funcționează în sarcină pentru o durată redusă, nu necesită în mod obișnuit radiator. Pentru ursă care debitează cca. 10A ales un tiristor de 20A, tip BT152/800 (acesta a fost

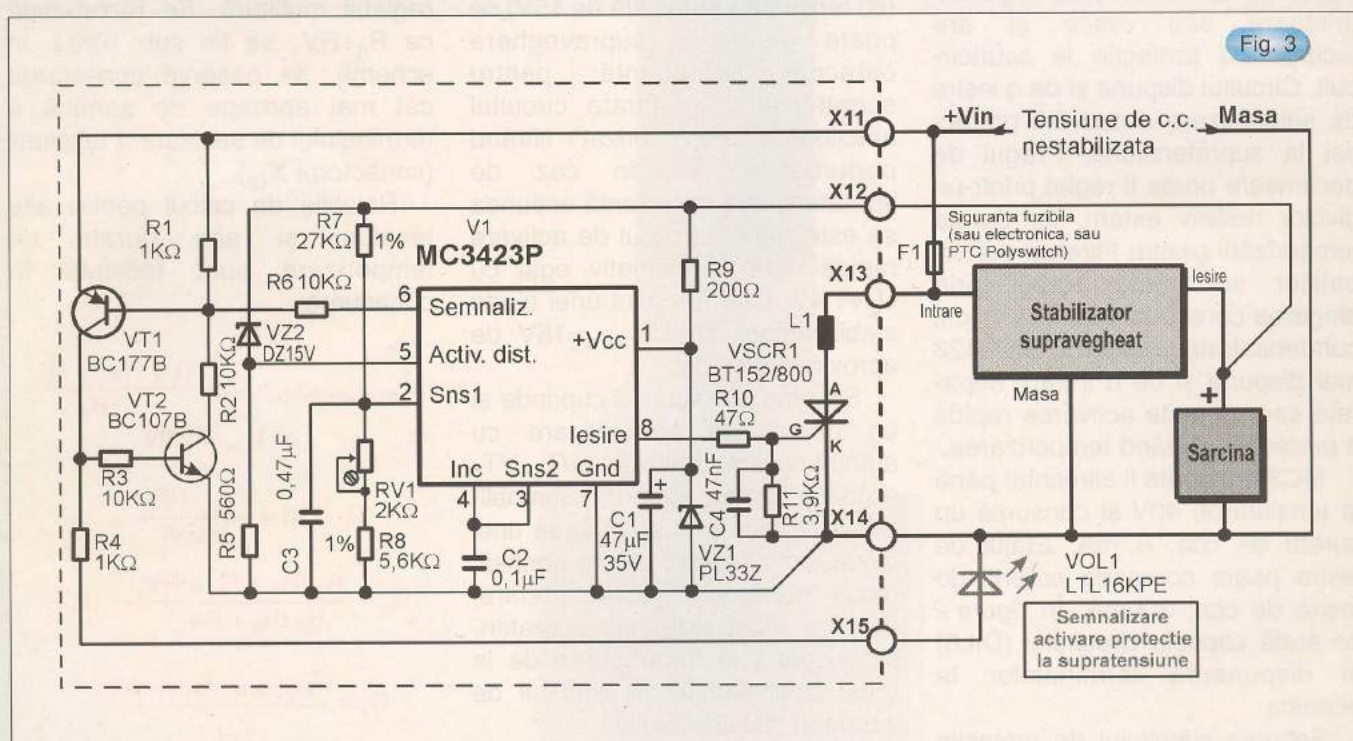
bil, se poate utiliza și unul de tensiune mai mică, de exemplu BT152/400, care este mai ieftin). Acest tiristor, în capsula TO220AB (cu dispunerea terminalelor arătată în *figura 2*) este capabil să suporte, pentru scurt timp (10ms) un curent de 200A. Pentru a preveni totuși defectarea prin  $dI/dt$  ridicat s-a introdus  $L_1$ . Aceasta este realizată în aer, pe diametru de 8mm și are 2 spire din sârmă din cupru emailat cu diametrul de 1...2mm. O siguranță fuzibilă de uz general cu  $\phi 6,3 \times 32$  mm, de 20A, se întrebuie la curenți de 10 ori mai mari decât cei nominali în cca. 10msec. Alegerea tiristorului depinde de

secțiunea de peste 1mm<sup>2</sup>. Pentru o sursă care debitează cca. 20A se va utiliza un conductor de 2,5mm<sup>2</sup>. Blocul de borne ARK120/3 (respectiv ARK120/2, pentru care a fost proiectat cablajul) permite curenți de trecere de 24A, fiind potrivit pentru utilizare, mai ales că în cazul modulului de protecție se vehiculează un curent mare, dar pe o perioadă scurtă de timp.

Procedura de reglare este următoarea: se utilizează o sursă stabilizată, reglabilă între 10 și 16V, cu protecție la scurtcircuit la un curent de maximum 0,5A. Se scurtcircuitează pe modulul de protecție X<sub>11</sub>, X<sub>12</sub>, X<sub>13</sub>. Se poziționează RV<sub>1</sub> în sensul creșterii rezistenței sale, până când se activează protecția la scurtcircuit a sursei. Acum modulul este reglat la valoarea dorită. Se poate verifica această valoare, după câteva zeci de minute, pornind cu tensiunea sursei de la valoarea minimă și crescând către valoarea de prag. La valoarea prestabilită protecția

nează RV<sub>1</sub> pe valoarea minimă a rezistenței sale. Se reglează sursa stabilizată la valoarea de prag dorită, de exemplu 14,5V. Cu sursa oprită se duc două conductoare: de la X<sub>11</sub> (X<sub>12</sub>, X<sub>13</sub>) la borna (+), de la X<sub>14</sub> la borna (-). Se pornește sursa. Se reglează lent RV<sub>1</sub> în sensul creșterii rezistenței sale, până când se activează protecția la scurtcircuit a sursei. Acum modulul este reglat la valoarea dorită. Se poate verifica această valoare, după câteva zeci de minute, pornind cu tensiunea sursei de la valoarea minimă și crescând către valoarea de prag. La valoarea prestabilită protecția

Fig. 3



fuzibilul utilizat ( $i^2t$ ), dar varianta aleasă în schemă se consideră satisfăcătoare în majoritatea cazurilor.

Cablajul imprimat este cel din *figura 4*, iar amplasarea componentelor este cea din *figura 5*. De remarcat traseele groase care trebuie să suporte curenți importanți la scurtcircuit. Cablarea trebuie făcută corespunzător. Pentru un curent de 10A se recomandă conductor multifilar cu

Fig. 4

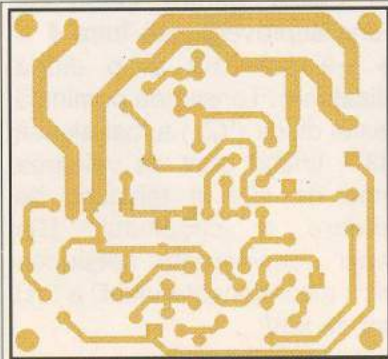
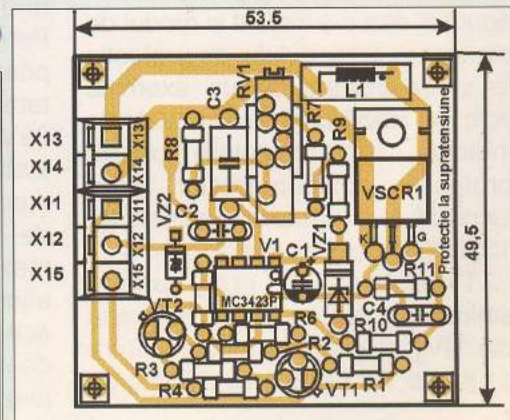


Fig. 5



trebuie să acționeaze. În timpul reglajelor dioda luminiscentă de semnalizare nu se conectează. După verificarea reglajului se immobilizează corespunzător cursorul potențiometrului semireglabil și se elimină strapurile montate.

Acum modulul se poate monta în stabilizatorul care va fi protejat (având la bază schema de montare din *figura 2*). Se poate acum conecta în exterior dioda luminiscentă VOL<sub>1</sub>. Dacă se dorește, se poate elimina R<sub>4</sub> și monta în locul diodei luminiscente un releu pentru semnalizare la distanță, prin contacte convenabil alese, a activării protecției la supratensiune.

## FOTO - GHICITOARE



**Ce reprezintă  
fotografia din  
imagină  
alăturată?**

Indiciu: "830"

Cititorii care trimit răspunsul corect pe adresa redacției au șansa să câștige un abonament pe un an la revistă.

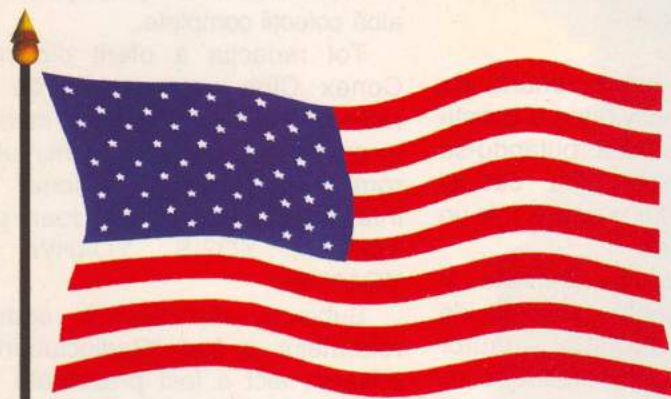
Câștigătorul va fi desemnat prin tragere la sorti și anunțat în paginile revistei.

Sunt luate în considerare răspunsurile corecte trimise până la data de 20 octombrie 2000.

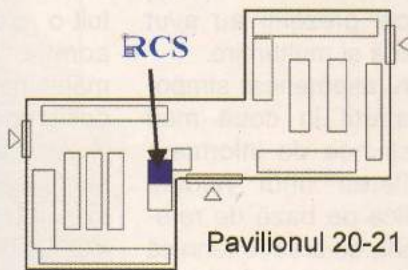
Răspunsul corect la întrebarea din numărul 9/2000 este: "osciloscop".

Câștigătorul concursului este: Tebreniu Florin din Piatra Neamț  
B-dul. Decebal nr. 57, bl. B3, sc. C, ap. 38.

Au mai primit câte un abonament gratuit la revistă  
Radioclubul Școlar YO9KVV și Biblioteca Orășenească Jibou.



Va asteptam in perioada 9 - 14 octombrie  
la TIB 2000, in pavilionul 20 - 21



**vertex**  
Communications Systems

Stații radio profesionale  
și sisteme de trunking

**YAESU**

Communications Equipment



Echipamente de măsură pentru:  
laboratoare RF, radiodifuziune  
și domeniul RF



**TELEX**  
Sisteme de antene profesionale,  
sisteme audio profesionale  
și pentru aviație



**MAXRAD**  
STATE OF THE ART ANTENNAS  
Antene fixe și mobile  
și accesorii



Cabluri coaxiale,  
conectori și asamblări



Modemuri de date  
și amplificatoare RF



**GARMIN**  
Sisteme de poziționare  
globală



**OPTOELECTRONICS**  
Monitoare de frecvență  
și scannere receptie,  
contoare de frecvență  
și decodăre



**Trimble**  
ADDING VALUE TO GPS  
Sisteme de poziționare  
globală



Aparate de măsură  
și control

**RCS**  
Radio Communications & Supply

Magazin: Str. Mamălu nr.11, et.1

Tel/Fax: +4(01) 3150939

Mobil: +4(094) 368147, +4(094) 806002

e-mail: office@rcsc.ro

website: http://www.rcsc.ro

# Simpozionul YO

conex  
clubRedacția Revistei  
conex club

## DIPLOMA

*Se acordă stației YO4HW  
pentru promovarea radioamatorismului  
românesc pe plan național și internațional*

Galați august 2000

Redactor șef  
ing. I. Mihăescu  
YO3CO

Organizarea acestei ediții a revenit radio-amatorilor din Galați, pentru care cei prezenți au avut cuvinte de laudă și mulțumire.

Practic, un asemenea simpozion este împărțit în două mari secțiuni - secțiunea de informare axată pe afilarea unor nouătăți tehnico-științifice pe bază de referate și secțiunea de creație tehnică unde sunt expuse valoroase lucrări practice destinate traficului de radioamator.

Dacă la secțiunea de informare aprecierile se fac la scenă deschisă, la secțiunea de creație tehnică se acordă titluri fiindcă această secție face parte din Campionatul Național de Creație Tehnică. Acest campionat de creație prevede în regulamentul său mai multe secțiuni, pe ramuri de aplicabilitate tehnică, și pentru fiecare secțiune se acordă un titlu de campion pe anul respectiv.

Simpozionul de la Galați, unde prezenta radioama-

torilor a fost impresionant de numeroasă, atraktivitatea a constituit-o creația tehnică putându-se admira atât concepția, cât și măiestria realizării practice într-un design pe măsură.

Aici au putut fi admirate și studiate instrumente complexe de măsură (Reflectometru - autor YO7DEC) surse de alimentare cu energie de diverse tipuri și destinații prezentate de YO7AQM, YO9CMF, dar mai ales tranceiver, amplificatoare RF de mare putere și modemuri.

Putem menționa în top Modem-ul realizat de YO5OFH, Amplificatorul de 200W realizat de YO4FRJ, Transceiver US - autor YO9FBG, Transceiver VHF - autor YO5AT.

Pentru stimularea creației tehnice în rândul radioamatorilor Societatea Conex Electronic, editorul revistei Conex Club și la această manifestare a oferit substanțiale premii în obiecte.

Astfel au fost oferite două

A devenit o tradiție ca în fiecare an, la sfârșitul verii, radioamatorii din România sau radioamatorii YO cum sunt cunoscuți pe plan internațional, să organizeze o întâlnire cu scopul de a face schimburile de informații.

multitestere digitale, un aspirator de praf din aparatul electronică și sase truse de surubelnițe de diferite tipuri. În același timp redacția revistei Conex Club a oferit reviste ca toți radioamatorii participanți să aibă colecții complete.

Tot redacția a oferit diploma Conex Club unui număr de 8 radioamatori cu deosebite merite în promovarea radioamatorismului românesc pe plan național și internațional, amintim doar pe YO3FRI, YO2IS, YO4HW și YO4ATW.

Subiectul discuțiilor în cadrul referatelor a fost "Radiocluburile private", aici a fost prezentată în primul rând activitatea radioclubului YO3KYC ca exemplu de club particular și problematica extindei modelului; prezentare făcută de YO3CO.

Un alt referat interesant a fost "Arbitrarea pe calculator a competițiilor de radioamatori" susținută de Prof. Gheorghe Oproescu Tavi - YO4BKM.

În final, după tradiționalul banchet, radioamatorii au stabilit ca în 2001 să se întâlnească în capitala culturii românești - orașul Iași.

YO3CO

# YO8KOS

Un indicativ, o prezență de prestigiu în cadrul activității de radioamatorism din țara noastră este YO8KOS.

Acesta este radioclubul Aerostar din Bacău, singurul radioclub sud-est european constituit de radioamatori proveniți din minunata lume a aviatorilor.

Anul acesta radioclubul Aerostar sărbătorește 15 ani de la înființare, prilej de editare a unei Cărți Poștale unicat pe plan mondial.

Dacă în activitatea competițională de trafic YO8KOS este foarte cunoscut, o particularitate a membrilor săi o constituie cercetarea tehnică în elaborarea antenelor dedicate traficului de radioamator.

La Simpozionul YO de la Galați YO8KOS a fost prezent cu noutăți bine primite.



## CLASAMENT

### **Secțiunea A** **(aparatură și anexe pentru US)**

1. **YO8RMB**  
Budu Marian - Vaslui  
Amplificator liniar 160-15m
2. **YO9CMF**  
Mihai Paul - Călărași  
Set echipamente pentru trafic US
3. **YO7FO**  
Liviu Bucur - Pitești  
Etaj final de putere
4. **YO9FBG**  
Sandu Dixon - Ploiești  
Transceiver pentru US
5. **YO7AQM**  
Codreanu Laurențiu - Pitești  
Sursă de laborator
6. **YO8AXP**  
Neacșu Laurențiu - Bacău  
Amplificator de putere cu tub  
GU29
7. **YO5BHG**  
Fodor Vasile - Satu Mare  
Antena tuner
8. **YO8BNK**  
Breabă Candiano - Suceava  
Antenă λ/2
9. **YO5AT**

Cuibuș Iosif - Satu Mare  
Receptor RGA

10. **YO5OFH**  
Gaidoș Csaba - Satu Mare  
TNC-2
11. **YO8KOS**  
Rad. AEROSTAR - Bacău  
Amplificator logaritmic

### **Secțiunea B** **(Aparatură și anexe** **pentru UUS)**

1. **YO4FRJ**  
Arghiropol Adrian - Ploiești  
Final pentru banda de 432MHz
2. **YO5SAT**  
Cuibuș Iosif - Satu Mare  
Transceiver FM144-146MHz cu  
sinteză, controlat cu  
microcontroller
3. **YO3GGO**  
Mârzaç Ioan - București  
Transceiver FM cu sinteză pentru  
2m
4. **YO4PY**  
Bacală Vitalie - Brăila  
RTM Banda 4 modificat pentru  
trafic în 2m
5. **YO7BBE**  
Toader Marius - Câmpulung

## Muscel

- Antenă omnidirecțională
6. **YO4GGW**  
Iorga Adelina - Brăila  
Antenă omnidirecțională
  7. **YO5OCP**  
Mihai Pănuș - Satu Mare  
Etaj final de 20W pentru 144MHz
  8. **YO7LTO**  
Petre Predoiu - Gorj  
Generator FIF
  9. **YO9BMB**  
Andrușca Ioan - Ploiești  
RTM Banda 4 modificat și  
Transverter 28-144MHz
  10. **YO9CMF**  
Paul Mihai - Călărași  
Sursă stabilizată
  11. **YO5BHG**  
Fodor Vasile - Satu Mare  
Alimentator 13,2V/7A
  12. **YO5OFH**  
Gaidoș Csaba - Satu Mare  
Modem 1200 Baud
  13. **YO7DEC**  
Toader Nicolae - Câmpulung
- Muscel
- Reflectometru
14. **YO5OEE**  
Anderco Adrian - Satu  
Automat pentru RG



**Lucent Technologies**  
Bell Labs Innovations

**orinoco™**

**WaveACCESS®**

**WavelAN®**

**Cut the wire!**

**Think wireless.**

**Conectare radio de mare viteza  
pentru retele locale**

**11 Mb/s. 8 Km.**

**Marele Premiu  
pentru tehnologie**



**CERF**  
2 0 0 0

- ✓ Conectare radio la Internet
- ✓ Conexiuni punct la punct si punct la multipunct
- ✓ Retele de campus, tehnopol, incinte industriale, conectarea sediilor de banchi, firme
- ✓ Medi difcil de cablat, cladiri istorice, muzee
- ✓ Acces la retea pentru utilizatori de computere mobile



**AGNOR HIGH TECH**  
COMMUNICATIONS & COMPUTERS COMPANY

Tel.: 340 54 57  
Fax: 340 54 56  
[office@agnor.ro](mailto:office@agnor.ro)  
[www.agnor.ro](http://www.agnor.ro)



Neajunsurile versiunii A provin din faptul că detectoarele celor două voltmetre ( $V_1$  și  $V_2$  din [figura 1](#)) sunt realizate simplist, cu diode și sunt incorporate în punte. Ideal ar fi să se poată folosi milivoltmetre electronice (de bandă largă sau selective) conectate din exteriorul punctii. Cum voltmetrul din diagonala punctii ( $V_2$  din [figura 1](#)) nu are punct de masă, rezultă că este necesar ca acesta să fie conectat din exterior printr-un balun. Deoarece acest balun nu poate avea gabarite mari, se impune realizarea sa pe ferită. Sunt bine cunoscute două tipuri de balun pe ferită: balunul de tensiune (de tip transformator sau autotransformator) și balunul de curent (de tip soc de radiofrecvență) (vezi [nota 9](#)).

Pentru că este mai ușor de realizat, ne-am propus să conectăm voltmetrul  $V_2$  la punte prinț un balun de curent.

Puntea în versiunea B pe care o propunem este prezentată în [figura 4](#). După cum se vede, balunul intercalat între diagonala punctii și voltmetrul exterior conectat la borna  $V_2$ , are ca sarcină impedanța de intrare a acestuia din urmă și este ataçat de un generator echivalent al restului montajului ( $Z_{REF}$ ,  $Z_X$ ,  $Z_T$  și  $R_i$  în [figura 4](#)). Impedanța internă a acestui generator echivalent depinde în limite foarte largi de valoarea impedanței conectate la mufa de măsură  $Z_X$ , dar mai ales se modifică impedanța față de masă a fiecărei dintre bornele balunului

# Punte pentru Măsurarea Coeficientului de Reflexie (IV)

ing. Dumitru Blujdescu, YO3AL

conectate la  $Z_{REF}$  și la  $Z_X$ .

Cu toate aceste condiții, rolul balunului este să prezinte la borna  $V_2$  a voltmetrului exterior o tensiune proporțională cu tensiunea din diagonala punctii la frecvența la care se măsoară, iar prezența sa să nu perturbe condiția de funcționare a montajului.

Se observă în schema propusă ([figura 4](#)) lipsa voltmetrului  $V_1$  din versiunea A și chiar lipsa unei mufe pentru conectarea acestuia din exterior. Această situație creează multe avantaje, dar impune și unele restricții în utilizarea punctii.

În primul rând împarte metodele de măsură în două categorii.

## 7.1) Moduri specifice de utilizare a versiunii B

### 7.1.1) Măsurarea cu voltmetru de raport.

Dacă sarcina etalon montată la borna  $Z_{REF}$  are inclus un detector de genul celui realizat cu  $D_1$  și  $C_3$  în versiunea A ([figura 2](#)), iar la mufa  $V_2$  a punctii se conectează un ansamblu similar (sarcină cu detector incorporat), configurația și modul de utilizare este același ca la versiunea A. Mai mult decât atât, dacă partea de comutare, tarare și calibrare s-au realizat ca modul separat (ca în [figura 2](#) și în [fotografia punctii](#)), acesta din urmă poate fi utilizat și cu versiunea B.

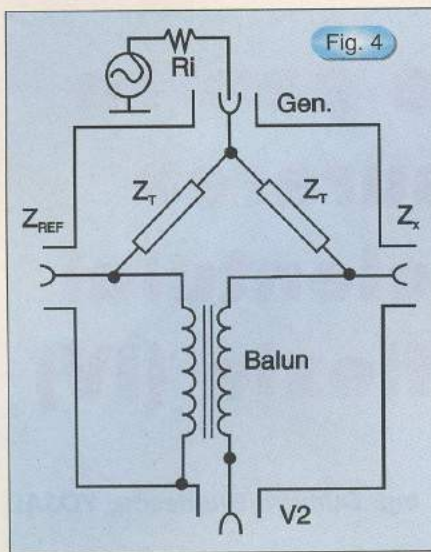
La prima vedere s-ar părea că folosind această metodă de măsură, versiunea B nu prezintă avantaje

față de versiunea A. În realitate, marele avantaj al versiunii B este acela că pentru voltmetrul  $V_2$  se poate folosi fie un detector cu pragul de linearitate foarte coborât [B7], fie se poate intercala un amplificator de RF de bandă largă între borna  $V_2$  a punctii și detectorul cu diodă respectiv, așa cum se procedează în cazul multor milivoltmetre [B6]. În ambele cazuri se procedează la tararea celor două detectoare cu ajutorul lui  $P_T$  ([figura 2](#)) ca la utilizarea versiunii A. Singura deosebire constă în aceea că dacă  $V_2$  devine mult mai sensibil (cum de altfel și urmărim), probabil că este necesară altă valoare pentru  $P_T$  (sau alt sistem de tarare).

*Condițiile impuse amplificatorului de RF intercalat între punte și detectorul lui  $V_2$  sunt dintre cele mai ușoare dacă tararea detectoarelor se face imediat înaintea măsurării și dacă operația se repetă când se schimbă frecvența de lucru.* Se cere o linearitate acceptabilă (3...8% distorsiuni armonice) și o stabilitate a amplificării pe durata scurtă între tararea detectoarelor și măsurarea care urmează.

Am folosit cu succes această metodă în reglajul antenelor pentru receptiția TV la mare distanță în perioada lui 1960 (când baza rețelei naționale era emițătorul de pe canalul 2), dar și mai recent, în alte ocazii. (Amplificatorul utilizat adesea chiar "amplificator de canal" al instalației)

*Metoda rămâne utilă în special*



pentru folosirea în afara laboratorului (sau atelierului), căci permite utilizarea unor generatoare foarte simple și de puteri foarte mici, care se pot alimenta din baterii (ca și milivoltmetrul de raport).

### 7.1.2) Măsurarea cu un singur voltmetru.

Dacă pentru rolul lui  $V_2$  (voltmetrul din diagonala punții) putem să folosim un osciloscop, un milivoltmetru industrial sau chiar receptorul de trafic general inclus astăzi în transceiverle industriale moderne (dacă este prevăzut cu un S metru de calitate), să vedem în ce condiții ne putem dispensa de voltmetrul  $V_1$  (figura 2).

Chiar dacă mărimea măsurată ( $\Gamma$ ) este un raport între două tensiuni (formula 3), din care una este jumătate din tensiunea furnizată de generator la mufa corespunzătoare a punții, dacă aceasta din urmă este menținută constantă indiferent de impedanța conectată la mufa  $Z_X$ , atunci voltmetrul  $V_2$  poate fi calibrat în valori ale lui  $\Gamma$ . Această condiție este realizată dacă impedanța internă a generatorului este nulă sau dacă impedanța văzută de generator la mufa corespunzătoare a punții nu depinde de  $Z_X$ . Nici una din cele două situații nu este realizable practic, dar un generator cu impedanță internă de  $(10...15)\Omega$  oferă o soluție acceptabilă pentru puritatea generatoarelor.

Cu puritatea generatoarelor

de măsură au impedanță internă de  $50\Omega$ ;  $60\Omega$  sau  $75\Omega$  și mai ales pentru că acestea sunt și valorile sarcinii pe care ele funcționează corect (vezi nota 10), sunt posibile două variante:

a) Intercalarea între generator și punte a unui amplificator de bandă largă apt să funcționeze pe o sarcină de  $(10...15)\Omega$ , deci cu impedanță internă la ieșire de valoare mică și montarea efectivă la ieșirea sa a unei asemenea sarcini. Soluția a mai fost prezentată la § 6.5, cu deosebirea că în cazul punții în versiunea B se poate lucra cu nivele mici, deci acest amplificator - separator este cu mult mai ușor de realizat. Un asemenea amplificator realizat special pentru punte [B9] folosește circuitul integrat NE592 (echivalent cu  $\mu A733$ , LM733 sau din producția indigenă ROB733), a cărui impedanță internă la ieșire este de  $20\Omega!$  (Numai că autorul a mărit impedanța internă a generatorului echivalent prin inserarea unui rezistor de  $47\Omega!$ )

Cu același circuit integrat (dar urmat de un amplificator în contracurent, cu tranzistoare complementare) este realizat un amplificator de bandă largă prezentat în [B10], dar construcția nu are ca destinație o punte de măsură. (Și în acest caz impedanța internă echivalentă la ieșire a fost mărită prin adăugarea unor rezistoare).

b) Intercalarea între generator și punte a unui atenuator rezistiv simplu, astfel conceput încât dependența sarcinii generatorului de valoarea impedanței măsurate  $Z_X$  să se păstreze în limite acceptabile  $(10...20\%)$ , iar impedanța internă a generatorului echivalent (pentru ansamblul generator + atenuator) să fie de ordinul a  $(10...15)\Omega$ . În literatura de amatori nu am întâlnit (încă) această soluție (nota 11), dar ea este larg folosită de firmele care produc echipamente profesionale de măsură. (De altfel, soluția nu este altceva decât o aplicație a binecunoscutei expresii "adaptare prin pierderi".) De exemplu, în

construcția prezentată în [B11] atenuatorul este inclus în punte și constă dintr-un simplu divizor rezistiv compensat în frecvență cu ajutorul unui condensator ajustabil în paralel cu rezistorul dinspre generator și la care rezistorul dinspre punte are valoarea de  $11\Omega$ .

Pentru că puntea în versiunea B poate fi folosită cu semnale de nivel mic (în funcție de posibilitățile aparatului folosit pentru voltmetrul  $V_2$ ), soluția "b" este recomandabilă ca fiind mai simplă. În cazul generatoarelor construite special pentru alimentare independentă (din baterii) este preferabilă soluția "a" pentru că permite o solicitare mai mică a sursei de alimentare.

Această metodă de măsură mai impune generatorului o condiție (care este în general satisfăcută în majoritatea generatoarelor industriale) și anume, aceea de a asigura un reglaj destul de fin al nivelului semnalului la ieșire.

Pentru măsurare se procedează astfel: după stabilirea frecvenței generatorului se face calibrarea lui  $V_2$  pentru  $\Gamma = 1$  (Mufă  $Z_X$  în gol) reglând nivelul generatorului până când aparatul folosit pentru  $V_2$  arată un nivel cât mai mare permis de situație. (Prin aceasta înțelegem posibilitățile generatorului, ale aparatului folosit pentru  $V_2$  sau limitele tolerate de obiectul măsurat). Rețineți acest nivel ca fiind "nivelul de calibrare"  $U_{cal}$  (corespunzător lui  $\Gamma = 1$ ). Pentru comoditate, dacă  $V_2$  este gradat în volți (sau milivolți) este recomandabil ca  $U_{cal}$  să fie o putere a lui 10 (1; 10 sau 100, de exemplu). (Dacă  $V_2$  este gradat în dB sau în puncte S, această precauție nu mai este necesară).

Conectați obiectul măsurat la mufa  $Z_X$  a punții și citiți indicația lui  $V_2$ , pe care în cele ce urmează o vom denumi "nivelul de măsură"  $U_{măs}$ . Dacă  $V_2$  este gradat în volți (sau milivolți) coeficientul de reflexie este:  $\Gamma = U_{măs} / U_{cal}$ .

Continuare în numărul viitor

# 3

MODURI PENTRU  
A PRIMI REVISTA

conex club

- **Abonament pe 12 luni:**  $10\ 000 \times 12 = 120\ 000$  lei
- **Abonament pe 6 luni:**  $12\ 000 \times 6 = 72\ 000$  lei
- **Angajament:** plata lunar, ramburs - prețul revistei plus taxe de expediere

conex club conex club conex club conex club conex club

Pentru oricare din cele 3 moduri este necesară completarea unuia din taloane (sau copie) și expedierea pe adresa:

### Revista conex club

Claudia Sandu  
Str. Maica Domnului, nr.48, sector 2,  
București, cod poștal 72 223

#### TALON ABONAMENT

conex  
club

Doresc să mă abonez la revista **conex club** începând cu nr:..... pe o perioadă de: 12 luni  6 luni

Am achitat cu mandatul poștal nr. .... data .....

suma de: 120 000 lei  72 000 lei

Nume ..... Prenume .....

Str. .... nr. .... bl. .... sc. .... et. .... ap. ....

localitatea ..... judet/sector.....

cod poștal .....

Data ..... Semnatura .....

#### TALON ANGAJAMENT

conex  
club

Doresc să mi se expedieze lunar, cu plata ramburs, revista **conex club**. Mă angajez să achit contravaloarea revistei plus taxele de expediere.

Doresc ca expedierea să se facă începând cu nr.: .....

Nume ..... Prenume .....

Str. .... nr. .... bl. .... sc. .... et. .... ap. ....

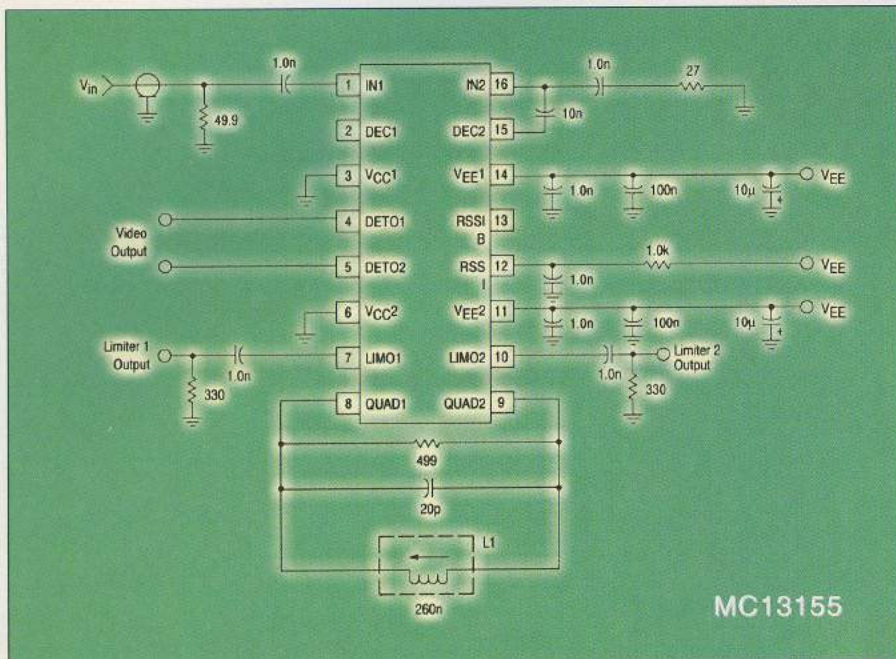
localitatea ..... judet/sector .....

cod poștal .....

Data ..... Semnatura .....

SIGUR ȘI EFICIENT!

# Dialog cu cititorii



**Negreanu Anton - Cluj Napoca**

Sistemul de televiziune în culori utilizat în România este PAL, denumire ce provine de la expresia Phase Alternation Line sau în traducere "comutarea fazelor de la o linie la alta".

Acest sistem a fost pus în aplicare de către Dr. Walter Bruch în Germania și aplicat în practică în anul 1962. Sistemul PAL este de fapt o variantă îmbunătățită tehnic a sistemului american NTSC (National Television System Committee) elaborat prin anii 1951-1952.

În Europa sunt utilizate două norme de televiziune în culori: PAL și SECAM.

Personal am avut onoarea să-l cunosc pe Dr. W. Bruch când a venit la București în 1967 și a prezentat teoretic și practic, în fața specialiștilor din domeniul, modul de funcționare a acestui sistem de televiziune. Probabil că și acea demonstrație a cîntărît greu în aplicarea sistemului PAL în țara noastră.

Propagarea la mare distanță a emisiunilor de televiziune este determinată de activitatea solară, de anotimp, dar și de frecvența canalului. Nu este influențată de

puterea emițătorului sau de tipul antenei de recepție, fenomenul fiind absolut întâmplător și neelucidat.

**Covacs Imre - Oradea**

Circuitul MC13155 produs Motorola este un amplificator de frecvență intermediară cu bandă largă pentru semnale modulate în frecvență. Este proiectat spre a fi utilizat în receptoare TV via satelit.

Poate utiliza semnale cu frecvență maximă de 300MHz, se alimentează cu tensiune între 3 și 6V și consumă 7mA.

Circuitul MC1411 conține o arie de 7 tranzistoare npn în configurație Darlington și este recomandat pentru comanda unor lămpi sau relee cu aplicații domestice sau industriale.

Acceptă tensiuni la ieșire de până la 50V.

Circuitul MC1350 a fost prezentat într-o aplicație apărută sub titlu "Amplificator IF" în revista Conex Club nr.4/2000, pag. 18.

**Moldoveanu Adrian - București**

Vom ține cont de propunerile dvs.

**Corneliu A. Tocan - Iași**

Mulțumim pentru cuvintele de laudă adresate redacției. Numerele solicitate au fost expediate deja în mod gratuit. Așteptăm și colaborarea științifică a dvs. la revista Conex Club.

**Serbu Adrian - Sibiu**

Modulele Tx433 și Rx433 (Velleman) pot fi procurate de la Conex Electronic, astfel: Tx433 - 153 000 lei, Rx433 - 153 000 lei, UM3789-084 se comercializează la prețul de 38 000 lei.

**Cocindău Doru - Iași**

Vom prezenta tabele cu echivalențe pentru semiconductoare. Urmăriți rubrica "Catalog".

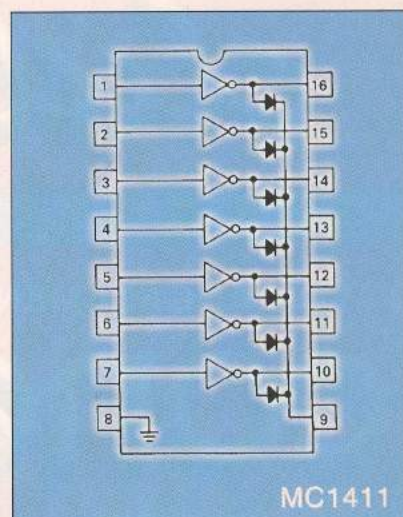
**Ghețu Marius - Mehedinți**

Conex Electronic comercializează și componente SMD.

**Bejenaru Mircea - Tulcea**

TDA7318 - Procesor audio stereo, L4949 - Regulator de tensiune stabilizată, L4916 - Regulator de tensiune stabilizată plus filtru, 8,5V, 0,25A.

**ing. I. Mihăescu**



**conex electronic**

**conex club**

vă invită să vizitați în perioada 9 -14 Octombrie 2000

TIB 2000 în cadrul Complexului Expozițional Romexpo.

În standul propriu al Societății **conex electronic** - Pavilionul central, stand 318 - puteți

vezi documentație tehnică și testa aparatul și subansamblurile comercializate. Pe întreaga perioadă a

redacția va oferi în mod GRATUIT celor interesați posibilitatea de a-și completa colecția revistei

**conex club**

# Illuminat de siguranță economic

ing. Emil Matei

## Urmare din numărul precedent

O caracteristică specifică a variatoarelor cu control de fază este generarea unor multiple impulsuri parazite, care în unele cazuri pot afecta buna funcționare a circuitelor logice, de aceea este importantă configurarea cablajului imprimat. Este importantă o bună

permite pătrunderea parazișilor spre rețeaua de alimentare. De menționat că în montajul experimental (pe placa de probe) s-au făcut teste și fără aceste elemente de filtraj, constatăndu-se efectul negativ asupra funcționării normale.

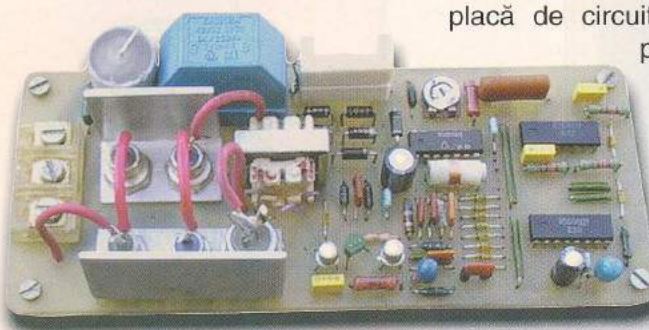
### Recomandări constructive

Dispozitivul se execută pe o placă de circuit imprimat simplu placat cu dimensiunile 155x65mm conform [figurii 2](#), în care montajul este văzut din spate partea cu componente. Se încaseteaază obligatoriu în carcasa din material plastic, având în vedere că lucrează direct cu tensiunea rețelei, fără separare galvanică. Se va ține cont de faptul că rezistorul R<sub>2</sub> degajă căldură în funcționare normală, deci se va asigura tirajul

corespunzător. Ea se obține prin legarea în paralel a două rezistoare de 22kΩ/5W, rezulând astfel 11kΩ/10W. Puterea dissipată, practic, nu depășește 4W, supradimensionarea având ca efect micșorarea cantității de căldură dissipată. Transformatorul de impuls Tr<sub>1</sub> se construiește din miezuri de ferită EE20, având în primar și secundar câte 82 spire CuEm 0,30. Între primar și secundar acesta va fi prevăzut cu o izolație corespunzătoare.

### Punere în funcționare

Din considerante de protecție a muncii, pe durata probelor montajul se va alimenta prin transformator separator de cel puțin 100W, lucrând pe bec de aceeași putere. În final, pentru sarcina nominală de 1200W, montajul se va alimenta direct din rețea, situație în care nu se vor mai atinge direct componentele din montaj.



decuplare a alimentării circuitelor integrate. În acest scop au fost prevăzute condensatoarele C<sub>4</sub>, C<sub>7</sub>, C<sub>11</sub>, filtrul L<sub>2</sub> și nu în ultimul rând filtrul de rețea L<sub>1</sub>C<sub>1</sub> care nu

material plastic, având în vedere că lucrează direct cu tensiunea rețelei, fără separare galvanică. Se va ține cont de faptul că rezistorul R<sub>2</sub> degajă căldură în funcționare normală, deci se va asigura tirajul

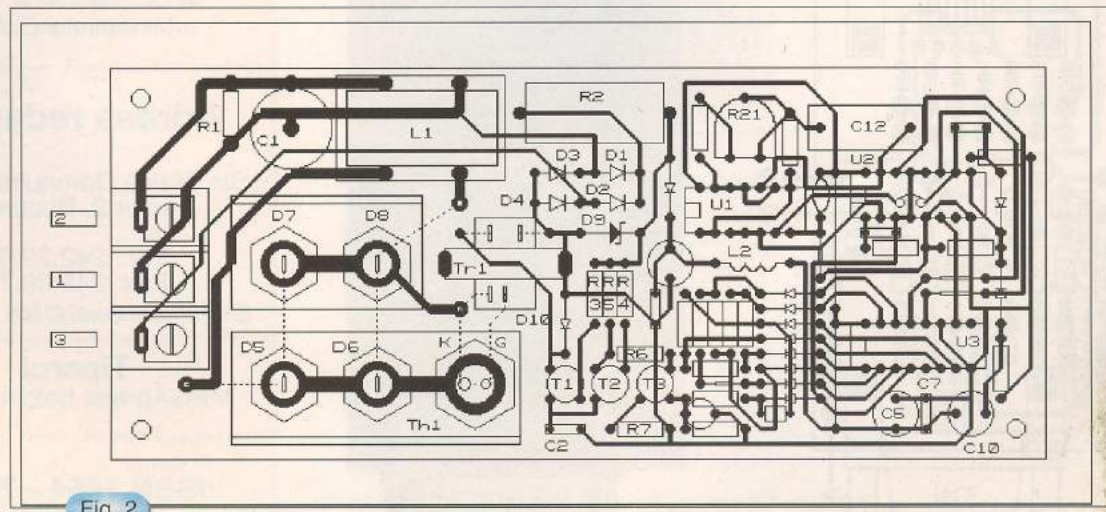


Fig. 2

## **Tester pentru rețele RS232**

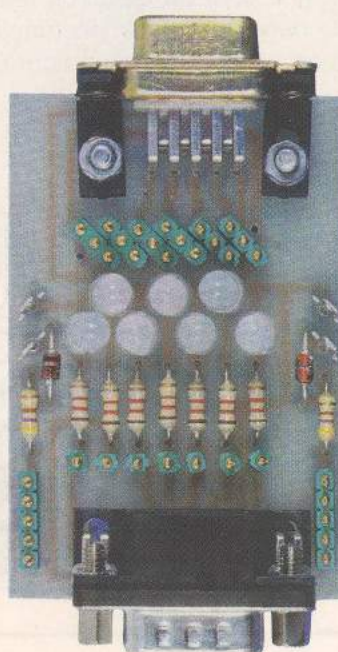
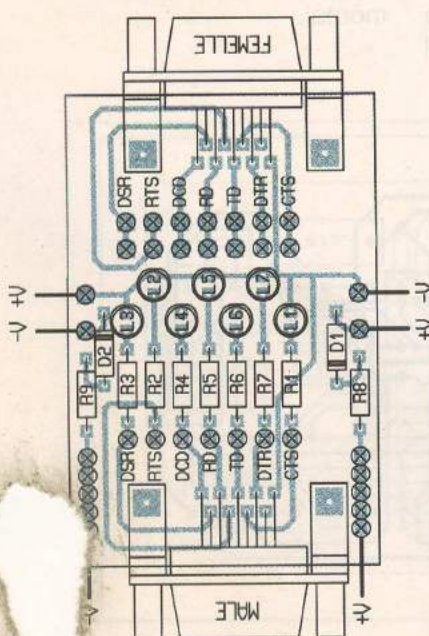
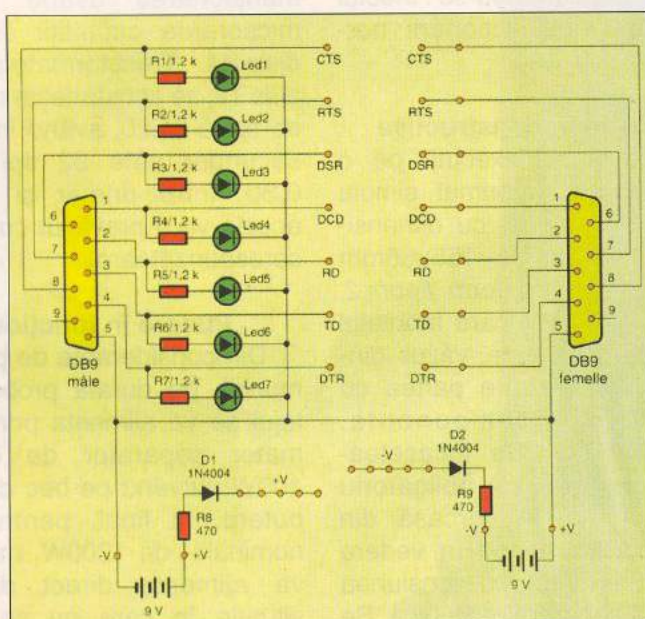
Testerul prezentat se conectează în serie pe o rețea RS232 ce prezintă defecțiuni în transmisia datelor și permite, cu ajutorul unor ștrapuri manevrate de cel care realizează service-ul, efectuarea unor verificări, cum ar fi: Întreruperea sau nu a cablului, sau forțarea nivelurilor de tensiune a unor semnale pe 1 sau 0 logic. În acest scop sunt utilizate LED-uri bicolore care indică nivelul logic.

Se utilizează două mufe DB9 tată (mâle în franceză) respectiv mamă

(femelle). LED-urile bicolore se alimentează prin rezistoare de  $1,2\text{k}\Omega$  de la mufa tată.

Pentru liniile de semnal întrerupte (CTS, RTS, DSR, DCD, RD, TD și DTR) sunt prevăzute pini la intrarea / ieșirea ambelor mufe DB9 pentru a se facilita straparea rapidă în vederea testării. Forțarea nivelurilor logice pe liniile retelei RS232 se face prin conectarea pinilor corespunzători la pinii +V, respectiv -V.

După Le Haut Parleur



Editor

**SC CONEX ELECTRONIC  
SRL**

J40/8557/1991

**Director**  
Constantin Mihalache

**Director comercial**  
Victoria Ionescu

REDACTIA

Redactor self

Ilie Mihăescu

Redactori

Croif V. Constantin

George Rintilio

Grafică și Tehnoredactare  
Traian Mândrea

Claudia Sand

Gilda Stefan

Revista Conex Club face parte  
din categoria Publicațiilor  
Culturale conform deciziei 1972  
din 25 octombrie 1999  
a Ministerului Culturii.

## **Adresa redacției**

Str. Maica Domnului, nr. 48,  
sector 2, Bucureşti

Tel.: 242.22.06  
Fax: 242.09.79

E-mail:conexel@isp.acorp.ro

**Tiparul**  
MEGApress holdings s.a.

ISSN 1454 - 7708



# În curând...

## Lista de produse și prețuri Conex Electronic

Ofertă specială pentru:

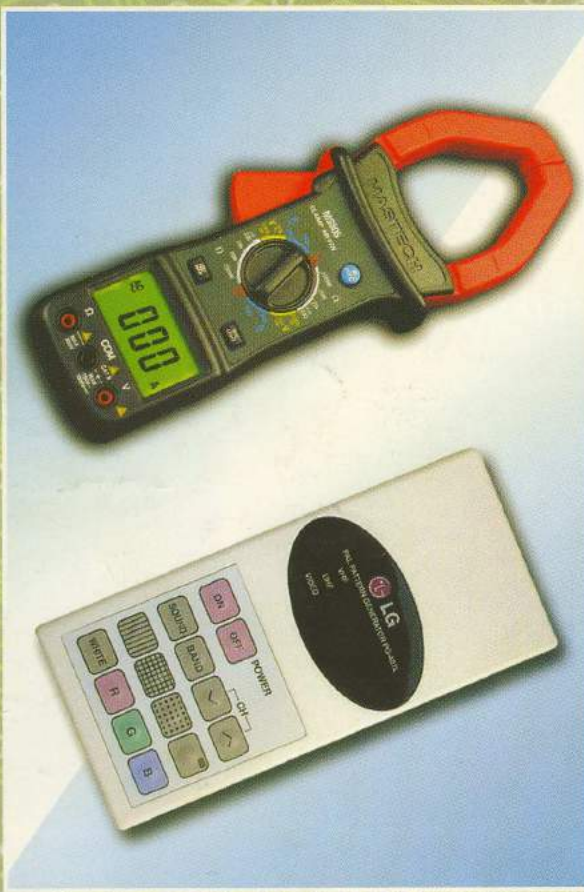
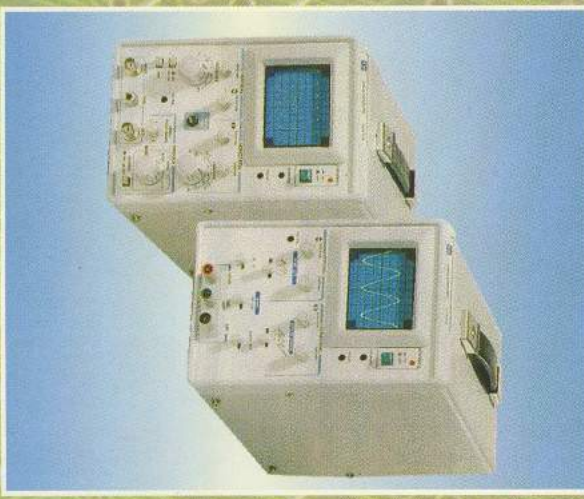
- ✓ Aparatură de măsură și control
- ✓ Surse de laborator
- ✓ Programatoare
- ✓ Scule și accesorii
- ✓ Circuite integrate TTL
- ✓ Tranzistoare...

... și multe altele!



Distribuție GRATUITĂ în limita  
stocului disponibil.  
Comandați acum!





**conex**  
**electronic**

**Str. Maica Domnului, nr.48  
sect. 2, Bucureşti  
Tel.: 242 2206, Fax: 242 0979**



- **COMPONENTE ELECTRONICE**
- **APARATURĂ DE MĂSURĂ**
- **ŞI CONTROL**
- **KIT-URI ȘI SUBANSAMBLE**
- **SCULE ȘI ACCESORII**
- **PENTRU ELECTRONICĂ**
- **SISTEME DE DEPOZITARE**
- **CASETE DIVERSE**

